



МИНИСТЕРСТВО НАУКИ И ВЫСШЕГО ОБРАЗОВАНИЯ РОССИЙСКОЙ ФЕДЕРАЦИИ  
ФЕДЕРАЛЬНОЕ ГОСУДАРСТВЕННОЕ БЮДЖЕТНОЕ ОБРАЗОВАТЕЛЬНОЕ  
УЧРЕЖДЕНИЕ ВЫСШЕГО ОБРАЗОВАНИЯ  
«МОСКОВСКИЙ АВИАЦИОННЫЙ ИНСТИТУТ  
(национальный исследовательский университет)»

---

Институт №3

Кафедра №301

Курсовой проект по дисциплине

**«Проектирование систем автоматического управления ЛА»**

на тему:

**«Проектирование системы автоматического управления  
боковым движением самолёта на режиме полета №1»**

Выполнил студент группы М30-501С-18  
Дзущев С. С.

Принял преподаватель:  
Мулин П. В.

Москва 2022

# Содержание

Задание.....	3
Исходные данные и требования к системам .....	4
1. Математические модели бокового движения самолёта.....	5
1.1. Уравнения бокового движения самолёта.....	5
1.2. Упрощённые модели бокового движения .....	8
2. Система стабилизации угла крена .....	11
2.1. Теоретические сведения .....	11
2.2. Синтез системы управления углом крена.....	13
2.3. Подбор коэффициентов в NCD-блоке для САУ углом крена .....	17
2.4. Построение области устойчивости для САУ углом крена .....	19
3. Система стабилизации угла рысканья в режиме плоского разворота .....	20
3.1. Теоретические сведения .....	20
3.2. Синтез системы управления углом рыскания в режиме плоского разворота .....	22
3.3. Подбор коэффициентов в NCD-блоке для САУ углом рыскания в режиме плоского разворота .....	24
3.4. Построение области устойчивости для САУ углом рыскания в режиме плоского разворота .....	25
4. Система стабилизации угла рыскания при использовании координированного разворота .....	26
4.1. Теоретические сведения .....	26
4.2. Синтез системы управления углом рыскания в режиме плоского разворота .....	30
4.3. Подбор коэффициентов в NCD-блоке для САУ углом рыскания в режиме координированного разворота .....	32
4.4. Построение области устойчивости для САУ углом рыскания в режиме координированного разворота .....	33
Заключение .....	34
Список использованных источников.....	35
Приложение 1.....	36
Приложение 2.....	40
Приложение 3.....	45

## **Задание**

1. Разработать систему управления углом крена на указанном режиме полета, удовлетворяющую требованиям к точности, быстродействию и качеству процессов управления.

- Разработать функциональную и структурную схемы.
- Выбрать параметры законов управления.

2. Разработать систему управления углом рыскания при использовании плоского разворота на указанном режиме полета, удовлетворяющую требованиям к точности, быстродействию и качеству процессов управления.

- Разработать функциональную и структурную схемы.
- Выбрать параметры законов управления.

3. Разработать систему управления углом рыскания при использовании координированного разворота на указанном режиме полета, удовлетворяющую требованиям к точности, быстродействию и качеству процессов управления:

- Разработать функциональную и структурную схемы.
- Выбрать параметры законов управления.

## Исходные данные и требования к системам

Линейная математическая модель привода имеет передаточную функцию:

$$W_{\text{пр}}(s) = \frac{\omega_{\text{пр}}^2}{s^2 + 2\xi_{\text{пр}}\omega_{\text{пр}}s + \omega_{\text{пр}}^2}$$

где  $\omega_{\text{пр}} = 20 \frac{\text{рад}}{\text{с}}$ ;  $\xi_{\text{пр}} = 0.707$ .

$N$	$H, \text{ км}$	$M$	$V, \text{ м/с}$	$\bar{Z}^\beta, 1/\text{с}$	$\sin \alpha_0$	$\cos \alpha_0$	$\frac{g}{V}, 1/\text{с}$
16	5	0.6	192	-0.2	0.08	1	0.051

$\bar{M}_x^\beta, \frac{1}{\text{с}^2}$	$\bar{M}_x^{\omega_x}, \frac{1}{\text{с}}$	$\bar{M}_x^{\omega_y}, \frac{1}{\text{с}}$	$\bar{M}_x^{\delta_\varepsilon}, \frac{1}{\text{с}^2}$	$\bar{M}_y^\beta, \frac{1}{\text{с}^2}$	$\bar{M}_y^{\omega_x}, \frac{1}{\text{с}}$	$\bar{M}_y^{\omega_y}, \frac{1}{\text{с}}$	$\bar{M}_y^{\delta_n}, \frac{1}{\text{с}^2}$
-5.8	-1.0	-0.2	-7	-3.0	-0.05	-0.2	-2.5

– Переходный процесс отработки заданного угла крена должен удовлетворять требованиям:

$$\sigma \leq 5 \%$$

$t_{p_\gamma}$  – минимально

– Переходный процесс отработки заданного угла рыскания при использовании плоского разворота должен удовлетворять требованиям:

$$\sigma = 0 \%$$

$t_{p_\psi}^{\text{пл}}$  – минимально

– Переходный процесс отработки заданного угла рыскания при использовании координированного разворота должен удовлетворять требованиям:

$$\sigma = 0 \%$$

$t_{p_\psi}^{\text{коорд}}$  – минимально

# 1. Математические модели бокового движения самолёта

## 1.1. Уравнения бокового движения самолёта

Дифференциальные уравнения бокового движения самолёта в горизонтальном полёте без крена и скольжения в спокойной атмосфере, записанные в проекциях на оси связанной системы координат, совпадающей с главными осями инерции, имеют вид:

$$\begin{cases} \frac{d\beta}{dt} = \bar{Z}^{\beta} \beta + \sin \alpha_0 \omega_x + \cos \alpha_0 \omega_y + \frac{g}{V} \cos \vartheta_0 \gamma + \bar{Z}^{\delta_n} \delta_n \\ \frac{d\omega_x}{dt} = \bar{M}_x^{\beta} \beta + \bar{M}_x^{\omega_x} \omega_x + \bar{M}_x^{\omega_y} \omega_y + \bar{M}_x^{\delta_{\varepsilon}} \delta_{\varepsilon} + \bar{M}_x^{\delta_n} \delta_n \\ \frac{d\omega_y}{dt} = \bar{M}_y^{\beta} \beta + \bar{M}_y^{\omega_x} \omega_x + \bar{M}_y^{\omega_y} \omega_y + \bar{M}_y^{\delta_{\varepsilon}} \delta_{\varepsilon} + \bar{M}_y^{\delta_n} \delta_n \\ \frac{d\gamma}{dt} = \omega_x - tg \vartheta_0 \omega_y \\ \frac{d\Psi}{dt} = \frac{\omega_y}{\cos \vartheta_0} \end{cases} \quad (1.1.1)$$

где:  $\bar{Z} = \frac{Z}{mV}$ ,  $\bar{M}_x = \frac{M_x}{J_x}$ ,  $\bar{M}_y = \frac{M_y}{J_y}$ , остальные обозначения – стандартные.

Верхний индекс в коэффициентах уравнений (1.1.1) означает частное дифференцирование по данной переменной, измеренной в радианах в секунду (для угловых скоростей).

При решении различных задач система (1.1.1) обычно упрощается, причём характер упрощений зависит от специфики задачи. Самое распространённое упрощение, состоящее в пренебрежении слагаемыми, величина которых обычно мала, в частности слагаемыми:  $\bar{Z}^{\delta_n} \delta_n$ ,  $\bar{M}_x^{\delta_n} \delta_n$ ,  $\bar{M}_y^{\delta_{\varepsilon}} \delta_{\varepsilon}$ ,  $tg \vartheta_0 \omega_y$  кроме того, принимается:  $\cos \alpha_0 = \cos \vartheta_0 = 1$ .

В результате получается следующая система уравнений бокового движения самолёта:

$$\begin{cases} \frac{d\beta}{dt} = \bar{Z}^\beta \beta + \sin \alpha_0 \omega_x + \omega_y + \frac{g}{V} \gamma \\ \frac{d\omega_x}{dt} = \bar{M}_x^\beta \beta + \bar{M}_x^{\omega_x} \omega_x + \bar{M}_x^{\omega_y} \omega_y + \bar{M}_x^{\delta_3} \delta_3 \\ \frac{d\omega_y}{dt} = \bar{M}_y^\beta \beta + \bar{M}_y^{\omega_x} \omega_x + \bar{M}_y^{\omega_y} \omega_y + \bar{M}_y^{\delta_H} \delta_H \\ \frac{d\gamma}{dt} = \omega_x \\ \frac{d\Psi}{dt} = \omega_y \end{cases} \quad (1.1.2)$$

Данной системе уравнений соответствует структурная схема на рисунке

1:

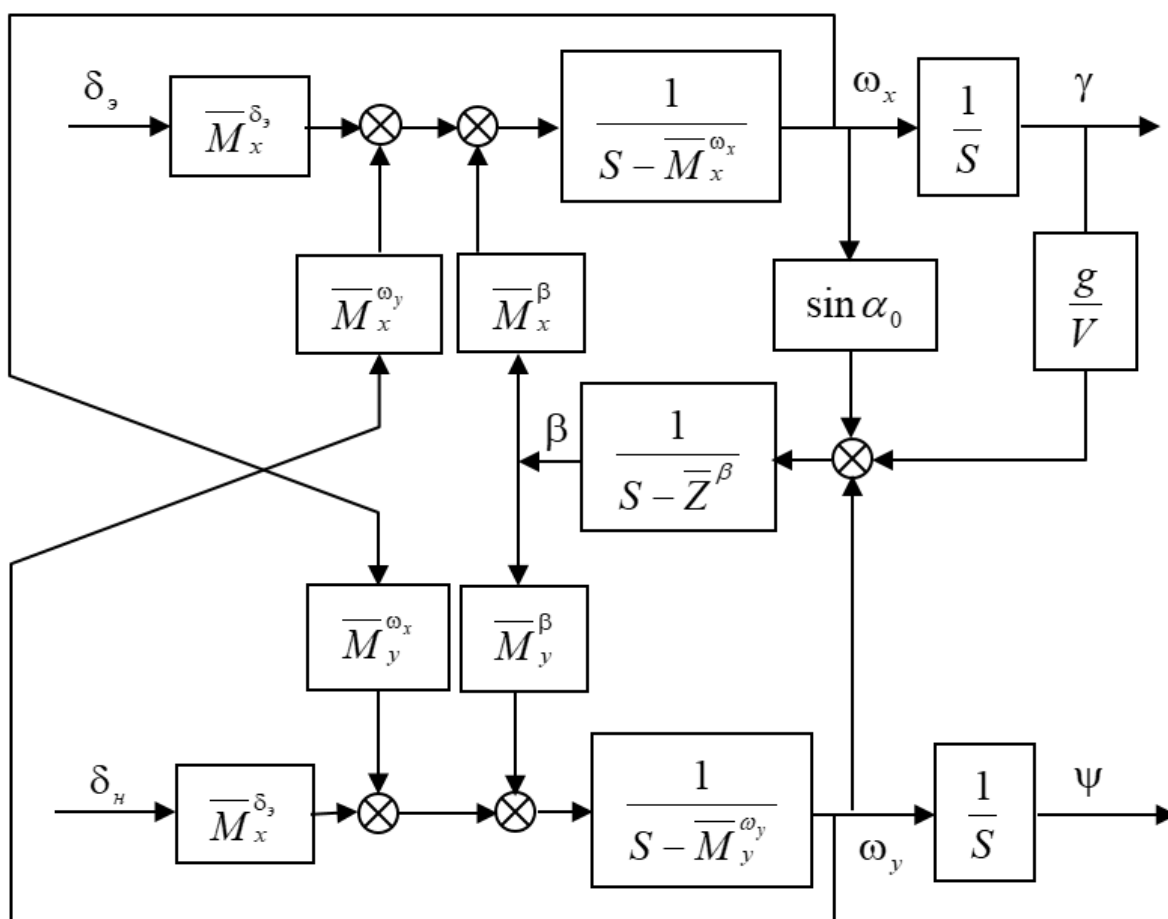


Рисунок 1. Структурная схема бокового движения самолёта

При исследовании неуправляемого бокового движения самолёта принимается  $\delta_{\text{э}} = \delta_{\text{н}} = 0$ , а последнее уравнение системы (1.1.2) обычно отбрасывается, так как силы и моменты, действующие на самолёт, не зависят от угла рыскания (в первые четыре уравнения  $\psi$  не входит). Получаемая при этом из (1.1.2) система имеет характеристический многочлен четвёртого порядка:  $\lambda^4 + A_3\lambda^3 + A_2\lambda^2 + A_1\lambda + A_0$  коэффициенты которого выражаются через коэффициенты системы (2) следующим образом:

$$\begin{cases} A_3 = -\bar{Z}^\beta - \bar{M}_x^{\omega_x} - \bar{M}_y^{\omega_y} \\ A_2 = \bar{Z}^\beta \bar{M}_y^{\omega_y} - \bar{M}_y^\beta + \bar{M}_x^{\omega_x} (\bar{Z}^\beta + \bar{M}_y^{\omega_y}) - \bar{M}_x \sin \alpha_0 - \bar{M}_x^{\omega_y} \bar{M}_y^{\omega_x} \\ A_1 = \bar{M}_x^{\omega_x} (\bar{M}_y^\beta - \bar{Z}^\beta \bar{M}_y^{\omega_y}) - \bar{M}_x^\beta \left( \frac{g}{V} + \bar{M}_y^{\omega_x} - \bar{M}_y^{\omega_y} \sin \alpha_0 \right) + \bar{M}_x^{\omega_y} (\bar{Z}^\beta \bar{M}_y^{\omega_x} - \bar{M}_y^\beta \sin \alpha_0) \\ A_0 = \frac{g}{V} (\bar{M}_y^{\omega_y} \bar{M}_x^\beta - \bar{M}_y^\beta \bar{M}_x^{\omega_y}) \end{cases} \quad (1.1.3)$$

Характеристический многочлен имеет два действительных и два комплексно-сопряжённых корня. Один действительный корень всегда большой по модулю, он называется креновым и обозначается  $\lambda_{\text{кр}}$ , другой действительный корень очень мал по модулю, называется спиральным и обозначается  $\lambda_{\text{сп}}$ . Модуль комплексных корней находится между модулями кренового и спирального корней. Квадратный трёхчлен, образованный комплексными корнями, обычно обозначается как:  $\lambda^2 + 2\xi_6\omega_6\lambda + \omega_6^2$  и, таким образом, весь характеристический многочлен можно представить в виде:  $(\lambda - \lambda_{\text{кр}})(\lambda^2 + 2\xi_6\omega_6\lambda + \omega_6^2)(\lambda - \lambda_{\text{сп}})$

В боковом движении может быть два вида неустойчивости: спиральная, когда в правой полуплоскости находится корень  $\lambda_{\text{сп}}$ , и колебательная, когда там находятся комплексные корни.

## 1.2. Упрощённые модели бокового движения

Так как спиральный корень по модулю очень мал, то при исследовании креновой и колебательных составляющих без большой погрешности можно принять его равным нулю. Так как физически спиральное движение возникает из-за влияния крена на скольжение, то "обнуление" спирального корня произойдёт при пренебрежении слагаемым  $\frac{g}{V}\gamma$  в системе (1.1.2). Часто можно пренебречь спиральными моментами  $\bar{M}_x^{\omega_y}$ ,  $\bar{M}_y^{\omega_x}$ ; а также слагаемыми  $\sin \alpha_0 \omega_x$ .

В итоге система (1.1.2) принимает вид:

$$\begin{cases} \frac{d\beta}{dt} = \bar{Z}^{\beta} \beta + \omega_y \\ \frac{d\omega_x}{dt} = \bar{M}_x^{\beta} \beta + \bar{M}_x^{\omega_x} \omega_x + \bar{M}_x^{\delta_{\text{э}}} \delta_{\text{э}} \\ \frac{d\omega_y}{dt} = \bar{M}_y^{\beta} \beta + \bar{M}_y^{\omega_y} \omega_y + \bar{M}_y^{\delta_{\text{н}}} \delta_{\text{н}} \\ \frac{d\gamma}{dt} = \omega_x \\ \frac{d\Psi}{dt} = \omega_y \end{cases} \quad (1.2.1)$$

Как видно, движение рыскания (1-ое, 3-е и 5-ое уравнения) стало независимым от движения крена (2-ое и 4-ое уравнения), но не наоборот.

Система (1.2.1) распадается на две системы:

$$\begin{cases} \frac{d\beta}{dt} = \bar{Z}^{\beta} \beta + \omega_y \\ \frac{d\omega_y}{dt} = \bar{M}_y^{\beta} \beta + \bar{M}_y^{\omega_y} \omega_y + \bar{M}_y^{\delta_{\text{н}}} \delta_{\text{н}} \\ \frac{d\Psi}{dt} = \omega_y \end{cases} \quad (1.2.2)$$

$$\begin{cases} \frac{d\omega_x}{dt} = \bar{M}_x^{\beta} \beta + \bar{M}_x^{\omega_x} \omega_x + \bar{M}_x^{\delta_{\text{э}}} \delta_{\text{э}} \\ \frac{d\gamma}{dt} = \omega_x \end{cases} \quad (1.2.3)$$

Вместо  $\beta$  в правую часть первого уравнения системы (1.2.3) следует подставлять решение системы (1.2.2).



Системе уравнений (1.2.1) соответствует структурная схема, показанная на рисунке 2:

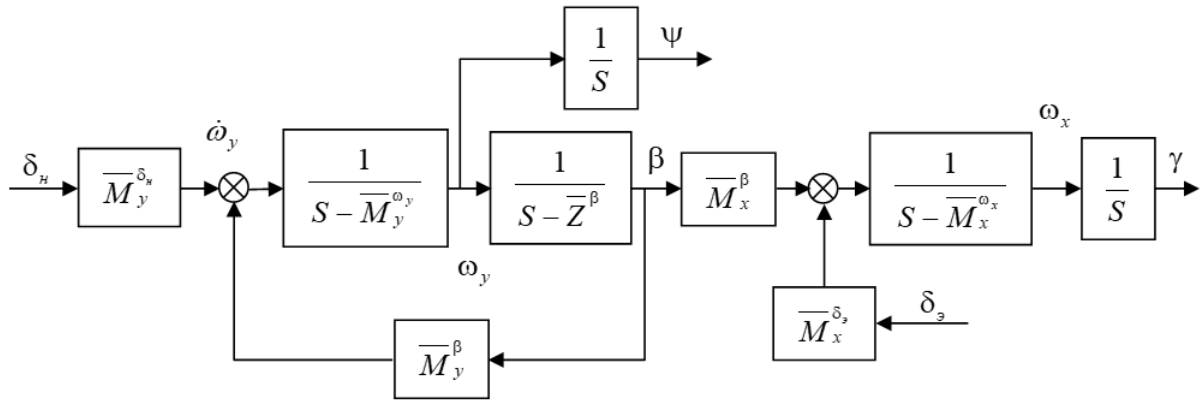


Рисунок 2. Структурная схема по системе (1.2.2)

Как видно из этой схемы, движение крена, возникающее при отклонении элеронов, можно исследовать независимо от движения рыскания, т.е. используя систему (1.2.3) при  $\beta = 0$ :

$$\begin{cases} \frac{d\omega_x}{dt} = \bar{M}_x^{\omega_x} \omega_x + \bar{M}_x^{\delta_3} \delta_3 \\ \frac{d\gamma}{dt} = \omega_x \end{cases} \quad (1.2.4)$$

Уравнения (1.2.4) называются уравнениями изолированного движения крена, а (1.2.2) – изолированного движения рыскания.

Характеристический многочлен системы (4) имеет вид:

$$(\lambda - \bar{M}_x^{\omega_x})[\lambda^2 + (-\bar{Z}^\beta - \bar{M}_y^{\omega_y})\lambda + (-\bar{M}_y^{\omega_y})] \quad (1.2.5)$$

Трёхчлен в квадратных скобках обозначается, как  $\lambda^2 + 2\xi_\beta \omega_\beta \lambda + \omega_\beta^2$ , так как он является характеристическим многочленом двух первых уравнений системы (5), описывающих изолированные колебания самолёта по  $\omega_y$  и  $\beta$ .

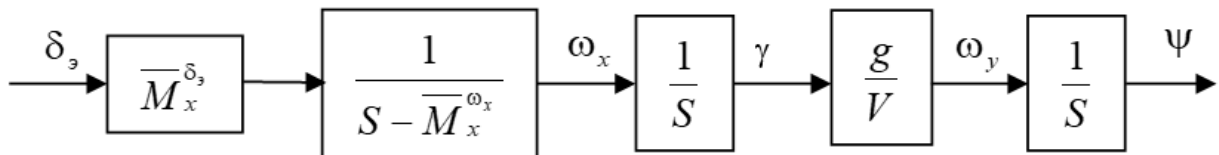


Рисунок 3. Структурная схема по системе (1.2.6)

При исследовании координированного ( $\beta = 0$ ) или близкого к координированному ( $\beta$  мал) развороту применяется система уравнений (1.2.6) которой соответствует структурная схема на рисунке 3.

$$\begin{cases} \omega_y + \frac{g}{V} \gamma = 0 \\ \frac{d\omega_x}{dt} = \bar{M}_x^{\omega_x} \omega_x + \bar{M}_x^{\delta_3} \delta_3 \\ \frac{d\gamma}{dt} = \omega_x \\ \frac{d\Psi}{dt} = \omega_y \end{cases} \quad (1.2.6)$$

## 2. Система стабилизации угла крена

### 2.1. Теоретические сведения

Функциональная схема статической системы стабилизации угла крена:

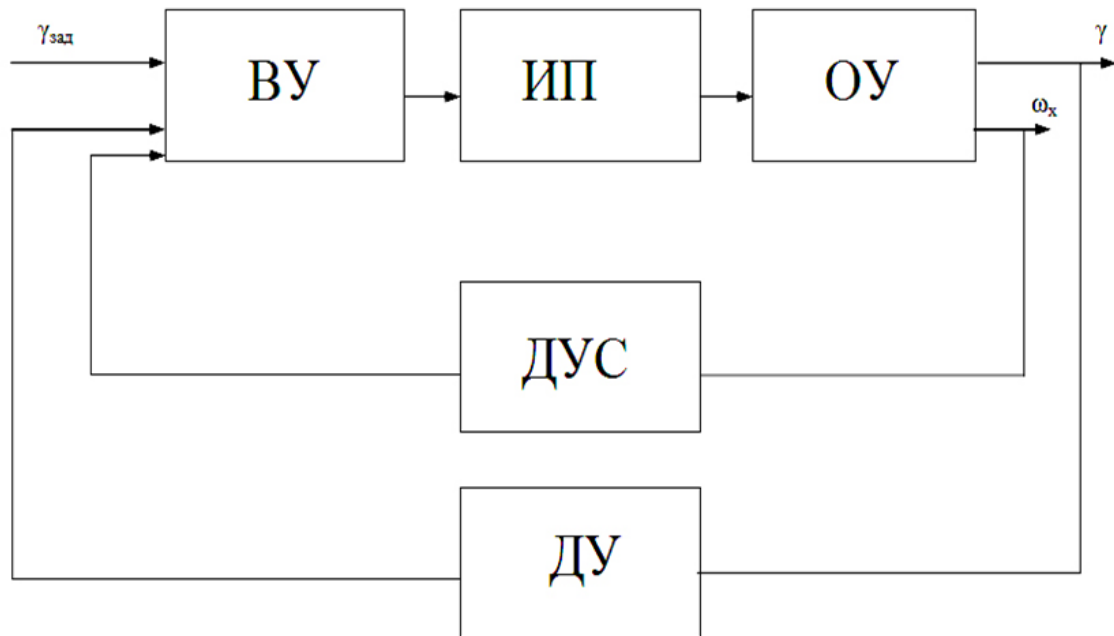


Рисунок 4. Функциональная схема статической системы стабилизации угла крена

где:

ВУ – вычислительное устройство,

ИП – исполнительный привод,

ОУ – объект управления,

ДУ – датчик угла,

ДУС – датчик угловых скоростей.

Закон управления статической системы стабилизации угла крена имеет вид:

$$\delta_{\alpha} = K_{\gamma} (\gamma - \gamma_{\text{зад}}) + K_{\omega_x} \omega_x \quad (2.1.1)$$

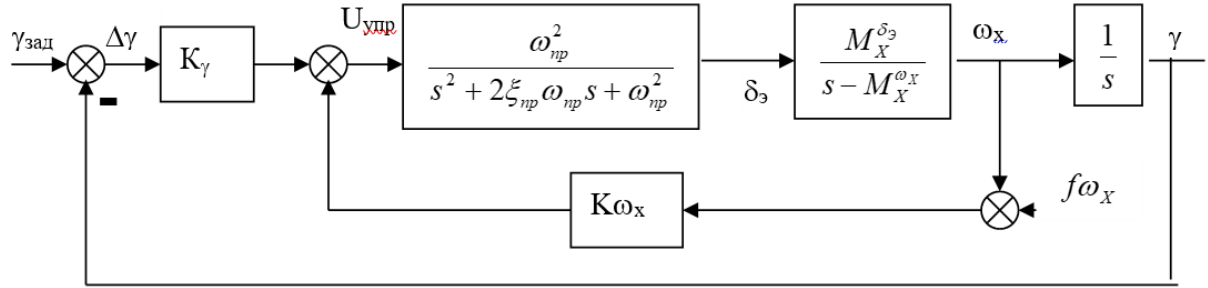


Рисунок 5. Система стабилизации угла крена

$$W_{\text{пр}}(s) = \frac{\omega_{\text{пр}}^2}{s^2 + 2\xi_{\text{пр}} \omega_{\text{пр}} s + \omega_{\text{пр}}^2} = \frac{400}{s^2 + 28,3s + 400} \quad (2.1.2)$$

Для приближённого анализа процессов управления креном и предварительного выбора передаточных чисел САУ можно воспользоваться уравнением изолированного движения крена (1.2.4).

Уравнение (1.2.4) совместно с уравнением САУ (1.2.6) образуют систему уравнений замкнутого контура автоматической стабилизации угла крена. Структурная схема контура представлена на рисунке 4. Передаточная функция самолёта из уравнений (1.2.4) имеет вид:

$$W_{\gamma}^{\delta_{\alpha}}(s) = \frac{\gamma(s)}{\delta_{\alpha}(s)} = \frac{\bar{M}_X^{\delta_{\alpha}}}{s(s - \bar{M}_X^{\omega_x})} \quad (2.1.3)$$

Передаточная функция замкнутого контура в режиме управления запишется следующим образом:

$$W_{\gamma}^{\gamma_{\text{зад}}}(s) = - \frac{-K_{\gamma} \bar{M}_X^{\delta_{\alpha}}}{s^2 + (-K_{\omega_x} \bar{M}_X^{\delta_{\alpha}} - \bar{M}_X^{\omega_x})s - K_{\gamma} \bar{M}_X^{\delta_{\alpha}}} \quad (2.1.4)$$

## 2.2. Синтез системы управления углом крена

Передаточная функция (2.1.4) представляет собой передаточную функцию колебательного звена. Поэтому выбор передаточных чисел  $K_\gamma$  и  $K_{\omega_x}$  можно достаточно просто произвести с помощью метода стандартных коэффициентов.

Представим передаточную функцию (2.1.4) в виде:

$$W_\gamma^{\gamma_{\text{зад}}}(s) = \frac{\omega_0^2}{s^2 + 2\xi\omega_0 s + \omega_0^2} \quad (2.2.1)$$

где:

$$\begin{cases} 2\xi\omega_0 = -K_{\omega_x}\bar{M}_X^{\delta_3} - \bar{M}_X^{\omega_x} \\ \omega_0^2 = -K_\gamma\bar{M}_X^{\delta_3} \end{cases} \quad (2.2.2)$$

Качество переходного процесса полностью определяется степенью демпфирования  $\xi$  и собственной частотой  $\omega_0$ .

Характеристическое уравнение:

$$\lambda^2 + 2\xi\omega_0\lambda + \omega_0^2 = 0 \quad (2.2.3)$$

Решая его, получим

$$\lambda_{1,2} = \frac{-2\xi\omega_0 \pm \sqrt{4\omega_0^2(\xi^2 - 1)}}{2} = -\xi\omega_0 \pm \omega_0\sqrt{(\xi^2 - 1)} \quad (2.2.4)$$

При этом

$\delta = \xi\omega_0$  – коэффициент затухания

$\omega_c = \omega_0\sqrt{(1 - \xi^2)}$  – собственная частота колебаний

$T = \frac{2\pi}{\omega_c} = \frac{2\pi}{\omega_0\sqrt{(1 - \xi^2)}}$  – период колебаний

$\tau = \frac{1}{\delta} = \frac{1}{\xi\omega_0}$  – время релаксации

Время переходного процесса будет примерно равно

$$t_p \approx 4\tau \quad (2.2.5)$$

При этом  $t_p = 4 \frac{1}{\xi \omega_0}$ ,  $T = \frac{2\pi}{\omega_0 \sqrt{(1-\xi^2)}}$

При этом, чтобы перерегулирование не было больше 5%, должно соблюдаться условие  $0 < 2t_p \leq T$ . При этом необходимо минимизировать время переходного процесса. Для этого нужно максимизировать  $\omega_0$  и  $\xi$ .

Решим неравенство

$$0 < 2t_p \leq T \quad (2.2.6)$$

$$0 < \frac{8}{\xi \omega_0} \leq \frac{2\pi}{\omega_0 \sqrt{(1-\xi^2)}} \quad (2.2.7)$$

Преобразуем крест-накрест и поделим левую и правую часть на  $2\omega_0$ :

$$0 < 4\sqrt{(1-\xi^2)} \leq \pi\xi \quad (2.2.8)$$

Возведём левую и правую часть в квадрат:

$$0 < 16(1-\xi^2) \leq \pi^2 \xi^2 \quad (2.2.9)$$

$$0 < \frac{16}{\pi^2 + 16} \leq \xi^2 \quad (2.2.10)$$

Отсюда

$$\xi \in \left[ \sqrt{\frac{16}{\pi^2 + 16}}; +\infty \right)$$

Возьмём  $\xi = \sqrt{\frac{16}{4\pi^2 + 16}} = 0.7864$

Как видно, перерегулирование не зависит от параметра  $\omega_0$ .

$$\omega_0 = \frac{4}{\xi t_p} \quad (2.2.11)$$

Если задать  $t_p = 1$  с, то  $\omega_0 = 5.0862$

Подставляя полученные значения  $\omega_0$  и  $\xi$ , находим передаточные числа  $K_\gamma$  и  $K_{\omega_x}$ , соответствующие оптимальной переходной функции:

$$K_\gamma = -\frac{\omega_0^2}{\bar{M}_X \delta_3} = 3.6957 \quad (2.2.12)$$

$$K_{\omega_x} = -\frac{(\bar{M}_X^{\omega_x} + 2\xi\omega_0)}{\bar{M}_X \delta_3} = 1 \quad (2.2.13)$$

Исходная передаточная функция системы стабилизации угла крена без учёта привода примет вид:

$$W_\gamma^{\gamma_{\text{зад}}}(s) = \frac{-25.87}{s^2 + 8s + 25.87} \quad (2.2.14)$$

Исходная передаточная функция системы стабилизации угла крена с учётом привода примет вид:

$$W_\gamma^{\gamma_{\text{зад}}}(s) = -\frac{10350}{s^4 + 29.28s^3 + 428.3s^2 + 3200s + 10350} \quad (2.2.15)$$

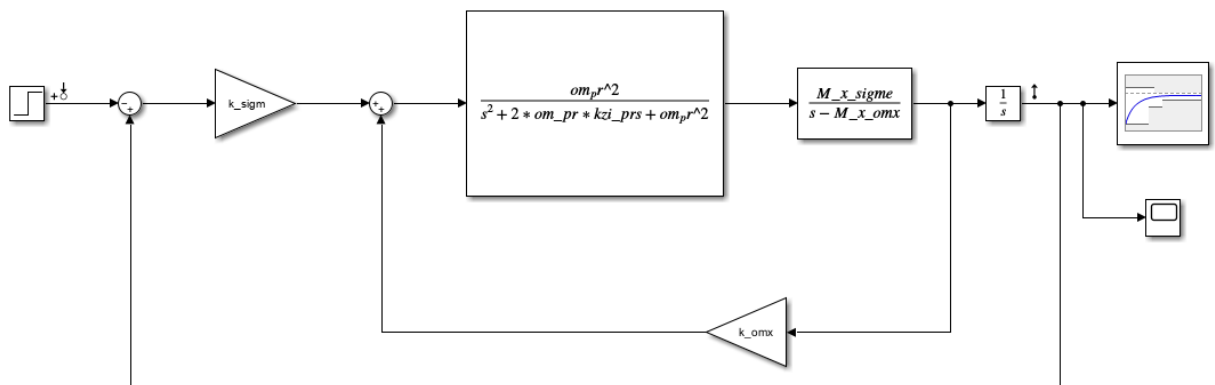


Рисунок 6. Схема моделирования САУ крена в среде Simulink с учетом динамики привода

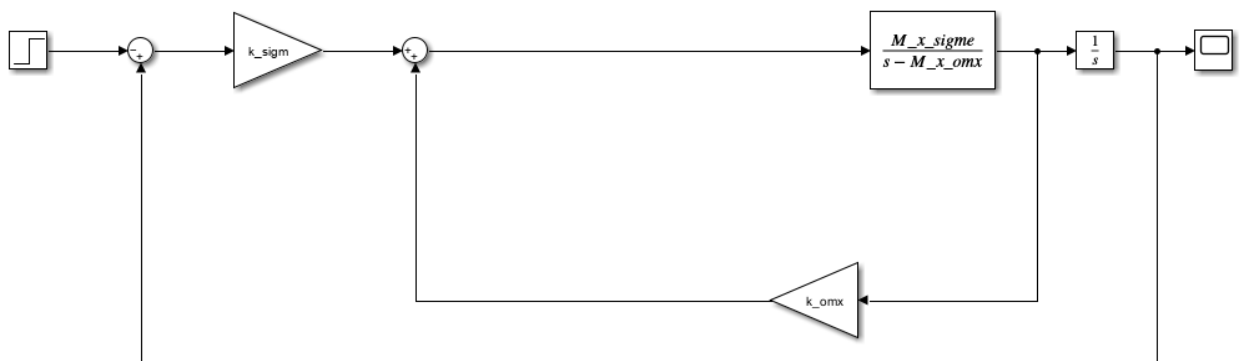


Рисунок 7. Схема моделирования САУ крена в среде Simulink без учета динамики привода

График переходных функций в системе с учётом привода и без учёта привода представлен на рисунке 8.

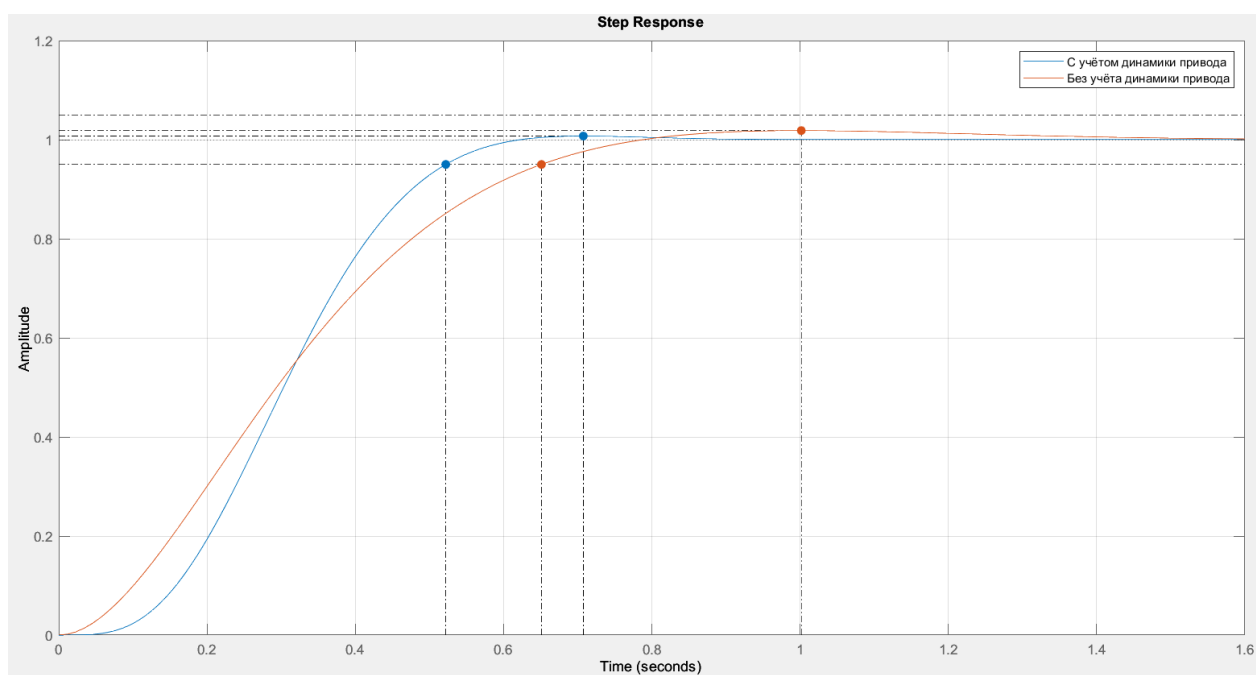


Рисунок 8. График переходной функции для системы стабилизации крена

С учетом динамики привода:  $t_{п.п.} = 0.522$ ;  $h_{max} = 1.01$ ;  $\sigma = 0.727\%$

Без учета динамики привода:  $t_{п.п.} = 0.651$ ;  $h_{max} = 1.02$ ;  $\sigma = 1.83\%$



### 2.3. Подбор коэффициентов в NCD-блоке для САУ углом крена

Теперь попробуем воспользоваться NCD-блоком в Simulink для подбора коэффициентов, чтобы уменьшить длительность переходных процессов. Схема с NCD-блоком представлена на рисунке 9.

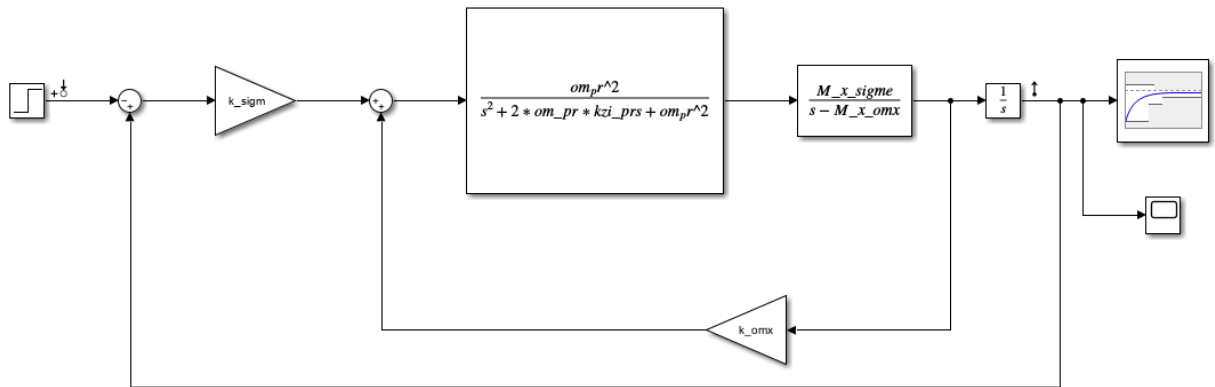


Рисунок 9. Схема моделирования САУ крена с учётом динамики привода с NCD-блоком

В результате многократных испытаний получаем переходный процесс с минимальным временем переходного процесса.

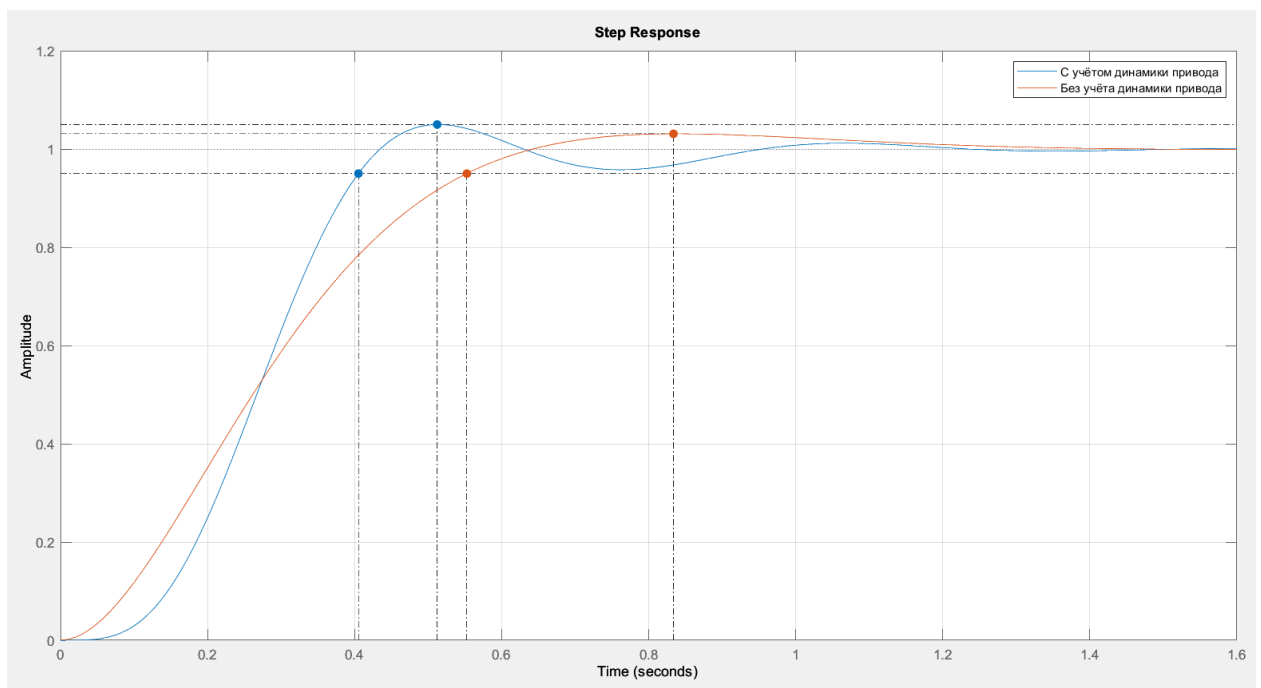


Рисунок 10. График переходного процесса по крену после моделирования в NCD-блоке

С учетом динамики привода:  $t_{п.п.} = 0.4$ ;  $h_{max} = 1.03$ ;  $\sigma = 3.33\%$

Без учета динамики привода:  $t_{п.п.} = 0.547$ ;  $h_{max} = 1.02$ ;  $\sigma = 1.59\%$

Данные результаты получились при моделировании с коэффициентами равными

$$K_{\gamma} = 5.4231 \quad (2.3.1)$$

$$K_{\omega_x} = 1.2597 \quad (2.3.2)$$

Исходная передаточная функция системы стабилизации угла крена без учёта привода примет вид:

$$W_{\gamma}^{\gamma_{\text{зад}}}(s) = -\frac{37.96}{s^2 + 9.818s + 37.96} \quad (2.3.3)$$

Исходная передаточная функция системы стабилизации угла крена с учётом привода примет вид:

$$W_{\gamma}^{\gamma_{\text{зад}}}(s) = -\frac{15180}{s^4 + 29.28s^3 + 428.3s^2 + 3927s + 15180} \quad (2.3.4)$$

Как видно, моделирование в NCD-блоке позволило достичь минимального времени переходного процесса, подобрав соответствующие коэффициенты, но при этом видно, что качество переходного процесса в системе с учётом динамики привода заметно уменьшилось.

## 2.4. Построение области устойчивости для САУ углом крена

Построим область устойчивости в зависимости от параметров  $K_Y$  и  $K_{\omega_x}$ . Для этого воспользуемся критерием Рауса. Для системы четвёртого порядка условия устойчивости по этому критерию выглядят следующим образом:

$$\begin{cases} A_4 > 0 \\ A_3 > 0 \\ A_2 > 0 \\ A_1 > 0 \\ A_0 > 0 \\ A_1 A_2 A_3 - A_1^2 A_4 - A_0 A_3^2 > 0 \end{cases} \quad (2.4.1)$$

Где  $A_0, A_1, A_2, A_3, A_4$  – коэффициенты характеристического многочлена полной системы с учётом привода.

$$\begin{cases} A_4 = 1 \\ A_3 = 29.28 \\ A_2 = 428.3 \\ A_1 = 2800K_{\omega_x} + 400 \\ A_0 = 2800.0K_Y \end{cases} \quad (2.4.2)$$

Область устойчивости – это область, которая соответствует выполнению критерия Рауса для системы 4 порядка в данном случае, и на рисунке 11 она обведена оранжевым цветом.

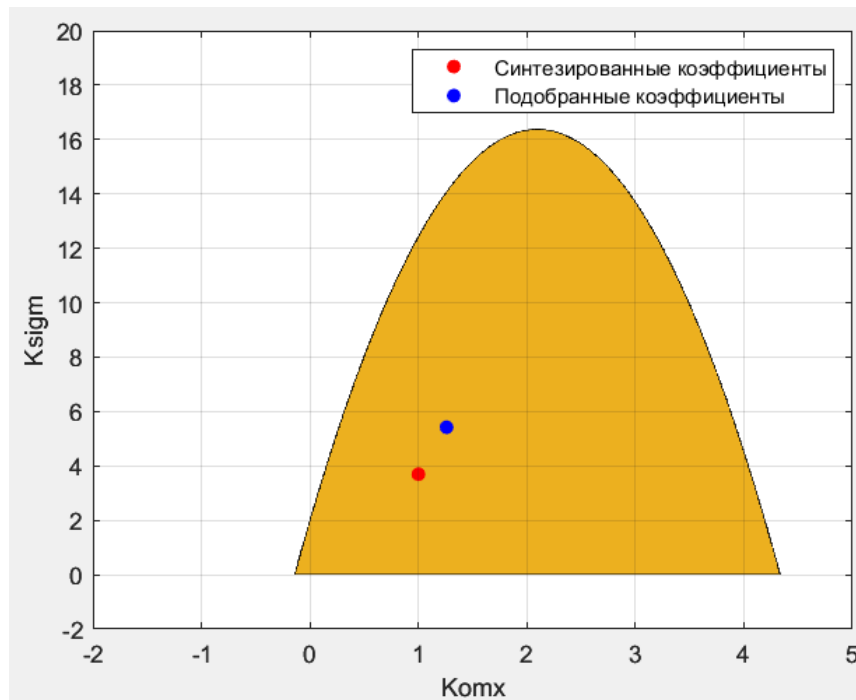


Рисунок 11. Область устойчивости для системы управления креном

### 3. Система стабилизации угла рыскания в режиме плоского разворота

#### 3.1. Теоретические сведения

Плоский разворот – управление курсом воздействием на руль направления. При таком способе руль направления создаёт скольжение, которое в свою очередь создаёт поперечную, искривляющую траекторию силу  $\bar{Z}^{\beta} \beta$ . Для осуществления плоского разворота необходимо отклонять элероны для стабилизации угла крена (для ликвидации моментов  $\bar{M}_x^{\beta} \beta$  и  $\bar{M}_x^{\omega_y} \omega_y$ ). Т.е. в плоском развороте руль направления используется для создания скольжения, а элероны – для ликвидации крена.

Закон управления идеальной статической системы стабилизации угла рыскания имеет вид:

$$\delta_n = K_{\psi}(\Psi - \Psi_{\text{зад}}) + K_{\omega_y} \omega_y \quad (3.1.1)$$

Для приближённого анализа движения рыскания и предварительного выбора передаточных чисел можно воспользоваться уравнениями изолированного движения рыскания (1.2.2). Добавив к уравнениям (1.2.2) уравнение САУ (3.1.1), получим систему уравнений замкнутого контура. Функциональная схема системы стабилизации угла рыскания в режиме плоского разворота:

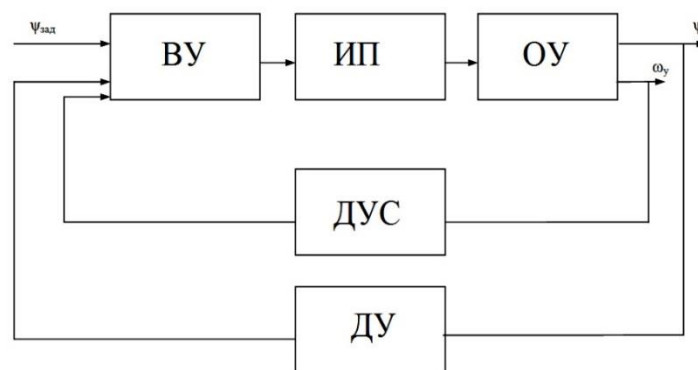


Рисунок 12. Функциональная схема системы стабилизации угла рыскания в режиме плоского разворота

Структурная схема контура показана на рисунке 13.

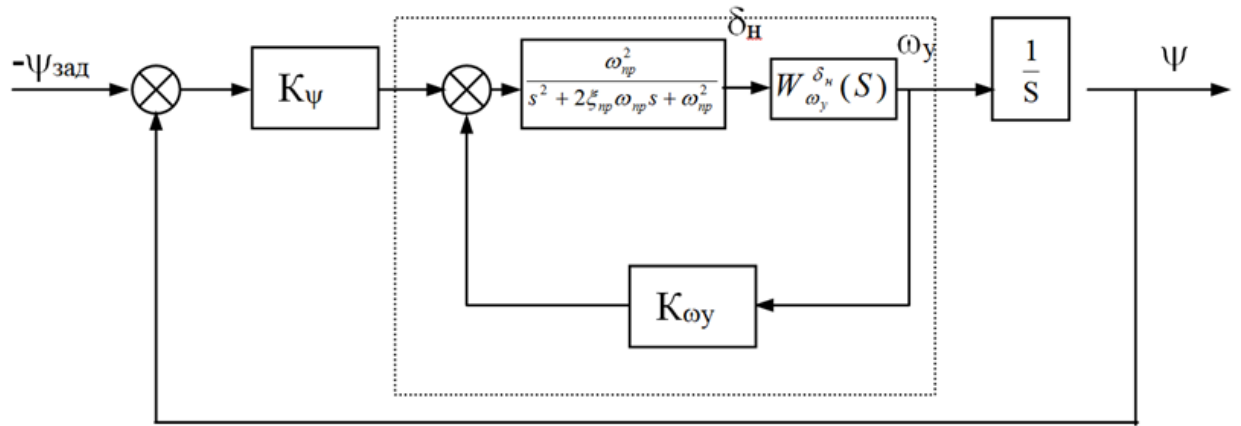


Рисунок 13. Структурная схема управления углом рыскания в режиме плоского разворота

Передаточная функция самолёта по угловой скорости рыскания, полученная из уравнений (5), имеет вид:

$$W_{\omega_y}^{\delta_n}(s) = \frac{\Psi(s)}{\delta_n(s)} = \frac{\bar{M}_y^{\delta_n} s - \bar{M}_y^{\delta_n} \bar{Z}^{\beta}}{s^2 + (-\bar{M}_y^{\omega_y} - \bar{Z}^{\beta})s + (\bar{Z}^{\beta} \bar{M}_y^{\omega_y} - \bar{M}_y^{\beta})} \quad (3.1.2)$$

Передаточная функция для системы на рисунке 11 определяется формулой:

$$W_{\psi}^{-\psi_{\text{зад}}}(s) = \frac{K_{\psi} \frac{W_{\omega_y}^{\delta_n} W_{\text{пр}}}{1 - W_{\omega_y}^{\delta_n} W_{\text{пр}} K_{\omega_y}} \frac{1}{s}}{1 - K_{\psi} \frac{W_{\omega_y}^{\delta_n} W_{\text{пр}}}{1 - W_{\omega_y}^{\delta_n} W_{\text{пр}} K_{\omega_y}} \frac{1}{s}} \quad (3.1.3)$$

$$W_{\psi}^{-\psi_{\text{зад}}}(s) = \frac{-1000K_{\psi}s - 200K_{\psi}}{s^5 + 28.68s^4 + 414.35s^3 + (1000K_{\omega_y} + 245.98)s^2 + (1000K_{\psi} + 200K_{\omega_y} + 1216)s + 200K_{\psi}} \quad (3.1.4)$$

### 3.2. Синтез системы управления углом рыскания в режиме плоского разворота

Коэффициенты характеристического многочлена ПФ 14:

$$\begin{cases} A_5 = 1 \\ A_4 = 28.68 \\ A_3 = 414.35 \\ A_2 = 1000K_{\omega_y} + 245.98 \\ A_1 = 1000K_{\psi} + 200K_{\omega_y} + 1216 \\ A_0 = 200K_{\psi} \end{cases} \quad (3.2.1)$$

Сформулируем задачу математического программирования

$$\min(z) = \min(A_1 A_0^{-1}) \quad (3.2.2)$$

При ограничениях

$$\begin{cases} \lambda_1 = A_0^{-1} A_1 A_2 A_3^{-1} \geq 2.15 \\ \lambda_2 = A_1^{-1} A_2 A_3 A_4^{-1} \geq 2.15 \\ \lambda_3 = A_2^{-1} A_3 A_4 A_5^{-1} \geq 2.15 \\ \delta_1 = A_0^{-1} A_1^2 A_2^{-1} \geq 2 \\ \delta_2 = A_1^{-1} A_2^2 A_3^{-1} \geq 2 \\ \delta_3 = A_2^{-1} A_3^2 A_4^{-1} \geq 2 \\ 0.1 \leq K_{\psi} \leq 300 \\ 0.1 \leq K_{\omega_y} \leq 300 \end{cases} \quad (3.2.3)$$

После определения целевой функции и нелинейных ограничений, применим функцию `fmincon()`. Полученные коэффициенты:

$$K_{\omega_y} = 2.7468 \quad (3.2.4)$$

$$K_{\psi} = 9.0425 \quad (3.2.5)$$

Получили передаточную функцию:

$$W_{\Psi}^{-\Psi_{\text{зад}}} (s) = - \frac{9042.47s + 1808.49}{s^5 + 28.68s^4 + 414.35s^3 + 2992.74s^2 + 10807.82s + 1808.49} \quad (3.2.6)$$

Переходный процесс с заданными коэффициентами показан на рисунке

14.

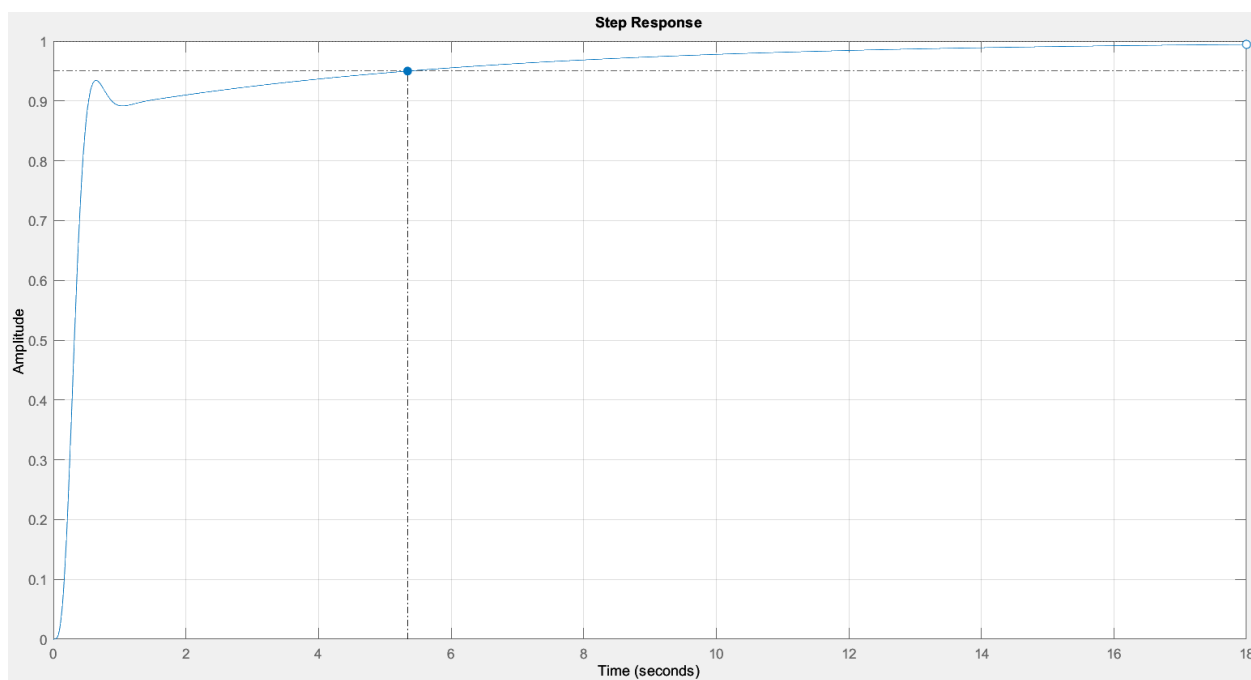


Рисунок 14. Переходный процесс в канале рыскания при плоском развороте после синтеза функцией `fmicon`

$$t_{п.п.} = 5.34; h_{max} = 1; \sigma = 0\%$$

### 3.3. Подбор коэффициентов в NCD-блоке для САУ углом рыскания в режиме плоского разворота

Осуществим подбор коэффициентов в системе Simulink при помощи NCD-блока для с параметрами моделирования.

$$t_{п.п.} = 3.5; h_{max} = 1.05; \sigma = 5\%$$

Схема моделирования представлена на рисунке 15.

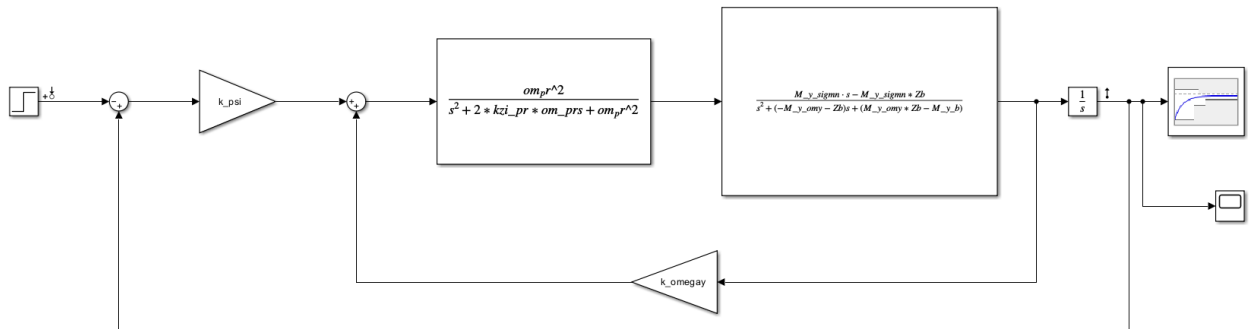


Рисунок 15. Схема моделирования для САУ углом рыскания в режиме плоского разворота

В ходе моделирования получаем коэффициенты

$$K_{\omega_y} = 2.8172 \quad (3.3.1)$$

$$K_{\psi} = 9.0425 \quad (3.3.2)$$

Переходный процесс при таких параметрах показан на рисунке 16.

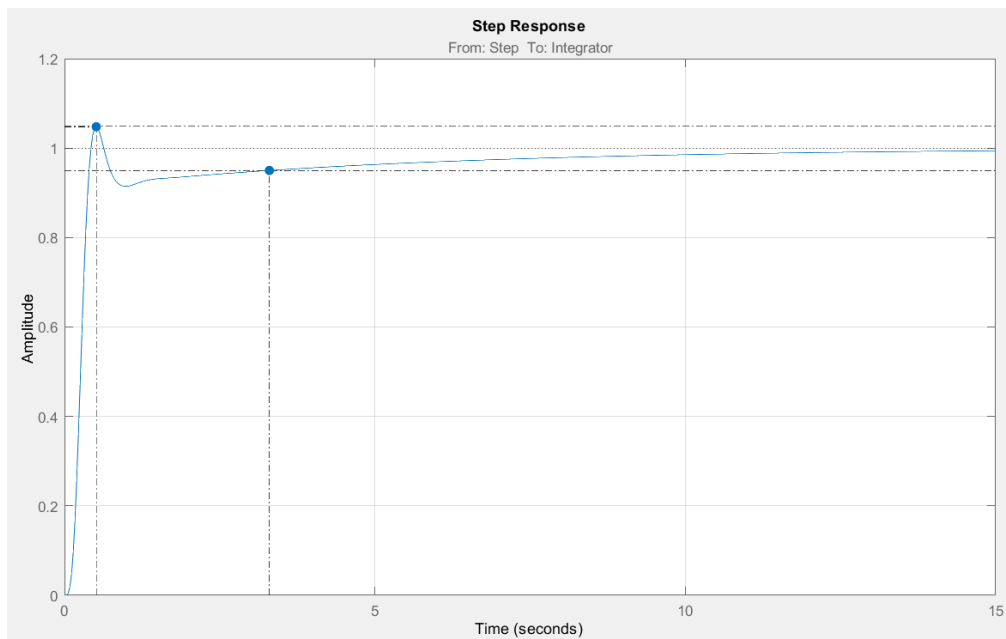


Рисунок 16. Переходный процесс в канале рыскания при плоском развороте после моделирования в NCD-блоке

$$t_{п.п.} = 3.5; h_{max} = 1.05; \sigma = 4.77\%$$



### 3.4. Построение области устойчивости для САУ углом рыскания в режиме плоского разворота

Построим область устойчивости в зависимости от параметров  $K_{\omega_y}$  и  $K_{\psi}$ . Для этого воспользуемся критерием Рауса. Для системы четвёртого порядка условия устойчивости по этому критерию выглядят следующим образом:

$$\begin{cases} A_5 > 0 \\ A_4 > 0 \\ A_3 > 0 \\ A_2 > 0 \\ A_1 > 0 \\ A_0 > 0 \\ (A_1A_2 - A_0A_3)(A_3A_4 - A_2A_5) - (A_1A_4 - A_0A_5)^2 > 0 \end{cases} \quad (3.4.1)$$

Где  $A_0, A_1, A_2, A_3, A_4, A_5$  – коэффициенты характеристического многочлена полной системы с учётом привода (уравнение 3.2.1).

Область устойчивости – это область, которая соответствует выполнению критерия Рауса для системы 5 порядка в данном случае, и на рисунке 17 она обведена оранжевым цветом.

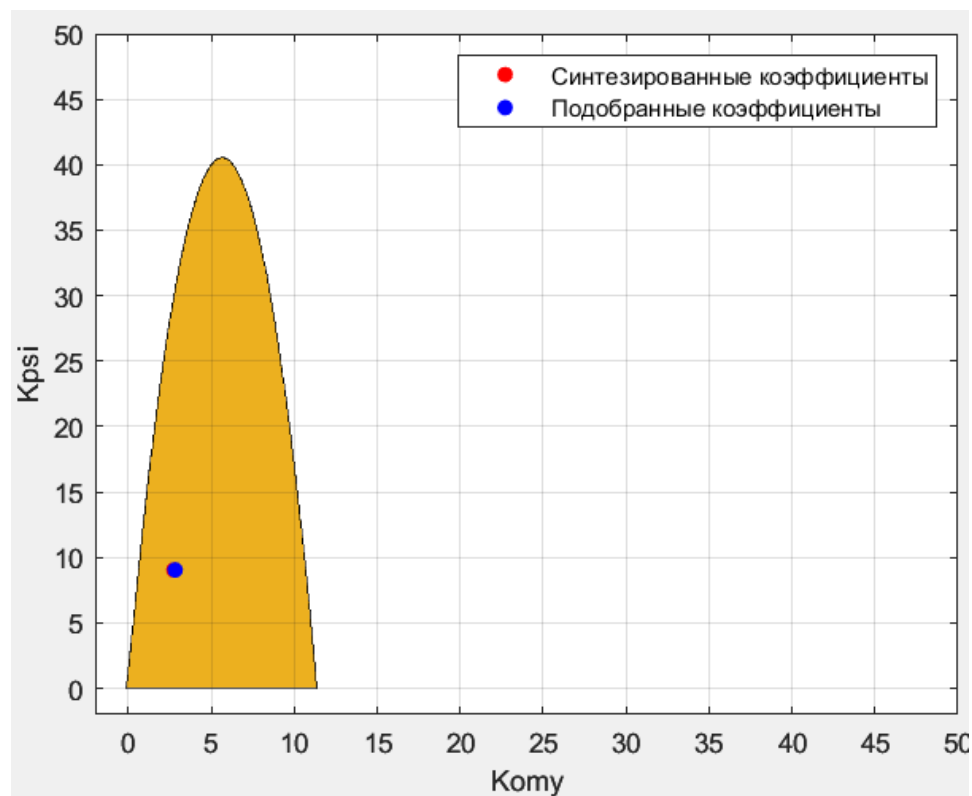


Рисунок 17. Область устойчивости для системы управления рысканием в режиме плоского разворота

## 4. Система стабилизации угла рыскания при использовании координированного разворота

### 4.1. Теоретические сведения

Управление курсом воздействием на элероны называется разворотом с креном. При таком способе разворота в качестве силы, разворачивающей вектор скорости в горизонтальной плоскости, используется проекция подъёмной силы на эту плоскость. Разворот с креном без скольжения называется координированным. Для ликвидации (или уменьшения) скольжения используется руль направления. Таким образом, при развороте с креном руль направления используется для ликвидации скольжения, а элероны – для создания крена.

При развороте с креном сигнал отклонения от заданного курса подаётся не на руль направления, а на элероны. Законы управления каналов элеронов и руля направления идеальной статической САУ принимают вид:

$$\delta_{\varepsilon} = K_{\psi}^{\varepsilon}(\Psi - \Psi_{\text{зад}}) + K_{\gamma}\gamma + K_{\omega_x}\omega_x, \quad \delta_{\text{н}} = K_{\omega_y}\omega_y \quad (4.1.1)$$

При координированном развороте в канал руля направления САУ подаётся сигнал перекрёстной связи по крену. Закон управления (4.1.1) принимает вид:

$$\delta_{\varepsilon} = K_{\psi}^{\varepsilon}(\Psi - \Psi_{\text{зад}}) + K_{\gamma}\gamma + K_{\omega_x}\omega_x \quad (4.1.2)$$

$$\delta_{\text{н}} = K_{\omega_y}\omega_y + K_{\gamma}^{\text{н}}\gamma \quad (4.1.3)$$

Передаточные числа  $K_{\gamma}$  и  $K_{\omega_x}$  определяются так, как описано во главе 2. Передаточное число  $K_{\gamma}^{\text{н}}$  выбирается из условия  $\beta = 0$  на всех этапах разворота. Для его выбора используется система уравнений (1.1.2), дополненная законами управления (4.1.2), (4.1.3).

Полученную систему уравнений представляют в области изображения по Лапласу

$$\begin{cases} \beta(s - \bar{Z}^\beta) - \omega_x \sin \alpha_0 - \frac{g}{V} \gamma = 0 \\ \beta(-\bar{M}_x^\beta) + \omega_x(s - \bar{M}_x^{\omega_x} - \bar{M}_x^{\delta_\omega} K_{\omega_x}) - \omega_y \bar{M}_x^{\omega_y} - \gamma K_\gamma \bar{M}_x^{\delta_\gamma} - \psi \bar{M}_x^{\delta_\psi} K_\psi = -\Psi_{\text{зад}} \\ \beta(-\bar{M}_y^\beta) - \omega_x \bar{M}_y^{\omega_x} + \omega_y(s - \bar{M}_y^{\omega_y} - \bar{M}_y^{\delta_\omega} K_{\omega_y}) - \psi K_\psi \bar{M}_y^{\delta_\psi} = 0 \\ -\omega_x + \gamma s = 0 \\ -\omega_y + \psi s = 0 \end{cases} \quad (4.1.4)$$

или  $A \cdot X = B \cdot \Psi_{\text{зад}}$ , где  $A$  и  $B$  - матрицы коэффициентов:

$$A = \begin{vmatrix} (s - \bar{Z}^\beta) & -\sin \alpha & -1 & -\frac{g}{V} & 0 \\ -\bar{M}_x^\beta & (s - \bar{M}_x^{\omega_x} - \bar{M}_x^{\delta_\omega} K_{\omega_x}) & -\bar{M}_x^{\omega_y} & -K_\gamma \cdot \bar{M}_x^{\delta_\gamma} & -\bar{M}_x^{\delta_\psi} K_\psi \\ -\bar{M}_y^\beta & -\bar{M}_y^{\omega_x} & (s - \bar{M}_y^{\omega_y} - \bar{M}_y^{\delta_\omega} K_{\omega_y}) & \bar{M}_y^{\delta_\psi} \cdot K_\psi & 0 \\ 0 & -1 & 0 & S & 0 \\ 0 & 0 & -1 & 0 & S \\ \beta & \omega_x & \omega_y & \gamma & \psi \end{vmatrix} \quad (4.1.5)$$

$$B = \begin{vmatrix} 0 \\ -\bar{M}_x^{\delta_\gamma} \cdot K_\psi \\ 0 \\ 0 \\ 0 \end{vmatrix} \quad (4.1.6)$$

Для определения ПФ и  $W_\beta^{\Psi_{\text{зад}}}$  находят выражения для определителей  $\Delta$  и  $\Delta_\beta$ , где  $\Delta$  - главный определитель, а  $\Delta_\beta$  - частный определитель (в матрице  $A$  столбец, соответствующий  $\beta$  заменён на столбец  $\Psi_{\text{зад}}$ ).

В результате получим:

$$W_\beta^{\Psi_{\text{зад}}} = \frac{\Delta_\beta}{\Delta} = \frac{B_3 s^3 + B_2 s^2 + B_1 s}{s^5 + A_4 s^4 + A_3 s^3 + A_2 s^2 + A_1 s + A_0} \quad (4.1.7)$$

Чтобы выполнялось условие  $\beta = 0$ , коэффициенты  $B_1, B_2, B_3$  также должны быть равны нулю. Последнее реализовать технически трудно, поэтому на практике ограничиваются требованием отсутствия скольжения только в установившемся развороте, для чего достаточно лишь выполнение условия

$B_1 = 0$ , что соответствует

$$K_{\gamma} = \left( K_{\omega_y} + \frac{\bar{M}_y^{\omega_y}}{\bar{M}_y^{\delta_n}} \right) \frac{g}{V} \quad (4.1.8)$$

Передаточное число  $K_{\omega_y}$  определяют, исходя из требований к контуру демпфирования изолированного канала РН:

$$K_{\omega_y} = -\frac{\bar{M}_y^{\omega_y}}{\bar{M}_y^{\delta_n}} - \frac{1}{\bar{M}_y^{\delta_n}} \sqrt{-2\bar{M}_y^{\beta} - (\bar{Z}^{\beta})^2} \quad (4.1.9)$$

При выборе передаточного числа  $K_{\psi}^{\beta}$  используется упрощённая система уравнений самолёта в виде (1.2.6). Так как переменная  $\delta_n$  в этой системе не фигурирует, то для получения системы уравнений контура стабилизации угла рыскания достаточно к системе (1.2.6) добавить уравнение (4.1.2). В итоге получим систему уравнений, описывающих динамику координированного разворота.

Функциональная схема системы стабилизации угла рыскания при использовании координированного разворота (рисунок 18):

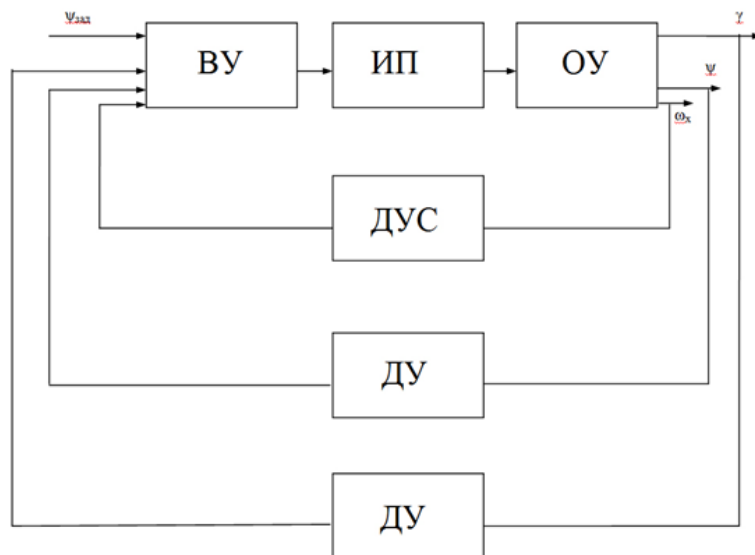


Рисунок 18. Функциональная схема системы стабилизации угла рыскания при использовании координированного разворота

Этой системе соответствует структурная схема, показанная на рисунке 19.

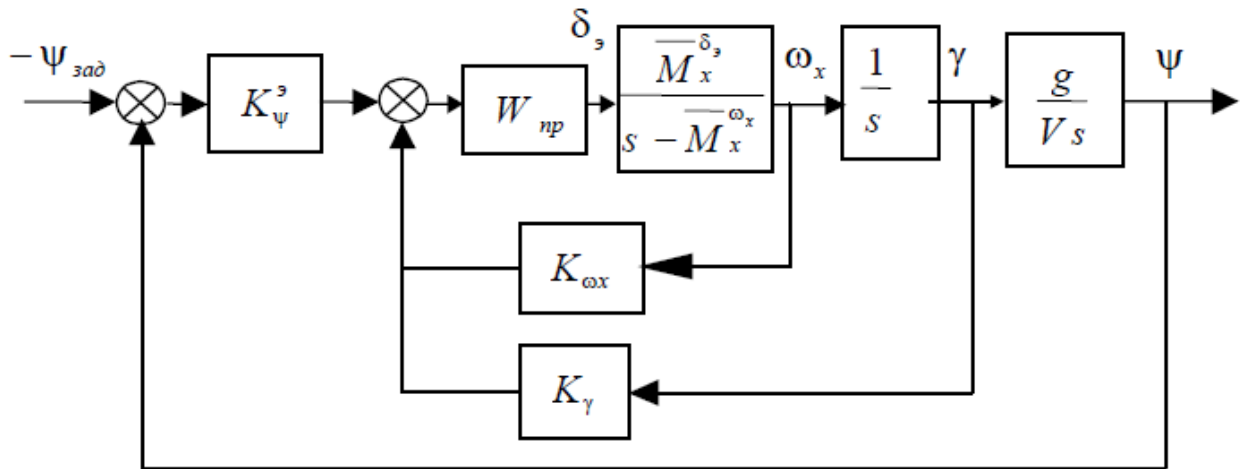


Рисунок 19. Система управления углом рыскания в режиме координированного разворота

Из этой схемы можно получить передаточную функцию замкнутой системы:

$$W_{\psi}^{-\psi_{\text{зад}}}(s) = \frac{-142.8K_{\psi}^3}{s^5 + 29.28s^4 + 428.28s^3 + (2800K_{\omega_x} + 400)s^2 + 2800K_{\gamma}s + 142.8K_{\psi}^3} \quad (4.1.10)$$

## 4.2. Синтез системы управления углом рыскания в режиме плоского разворота

Коэффициенты характеристического многочлена ПФ 14:

$$\begin{cases} A_5 = 1 \\ A_4 = 29.28 \\ A_3 = 428.28 \\ A_2 = 2800K_{\omega_x} + 400 \\ A_1 = 2800K_{\gamma} \\ A_0 = 142.8K_{\psi}^3 \end{cases} \quad (4.2.1)$$

Сформулируем задачу математического программирования

$$\min(z) = \min(A_1 A_0^{-1}) \quad (4.2.2)$$

При ограничениях

$$\begin{cases} \lambda_1 = A_0^{-1} A_1 A_2 A_3^{-1} \geq 2.15 \\ \lambda_2 = A_1^{-1} A_2 A_3 A_4^{-1} \geq 2.15 \\ \lambda_3 = A_2^{-1} A_3 A_4 A_5^{-1} \geq 2.15 \\ \delta_1 = A_0^{-1} A_1^2 A_2^{-1} \geq 2.1 \\ \delta_2 = A_1^{-1} A_2^2 A_3^{-1} \geq 2.1 \\ \delta_3 = A_2^{-1} A_3^2 A_4^{-1} \geq 2.1 \\ 0.1 \leq K_{\omega_y} \leq 300 \\ 0.1 \leq K_{\gamma} \leq 300 \\ 0.1 \leq K_{\psi}^3 \leq 300 \end{cases} \quad (4.2.3)$$

После определения целевой функции и нелинейных ограничений, применим функцию `fmincon()`. Полученные коэффициенты:

$$K_{\omega_x} = 0.9225 \quad (4.2.4)$$

$$K_{\gamma} = 3.5337 \quad (4.2.5)$$

$$K_{\psi}^3 = 109.4343 \quad (4.2.6)$$

Получили передаточную функцию:

$$W_{\psi}^{-\Psi_{\text{зад}}}(s) = -\frac{15630}{s^5 + 29.28s^4 + 428.3s^3 + 2983s^2 + 9894s + 15630} \quad (4.2.7)$$

Переходный процесс с заданными коэффициентами показан на рисунке

20.

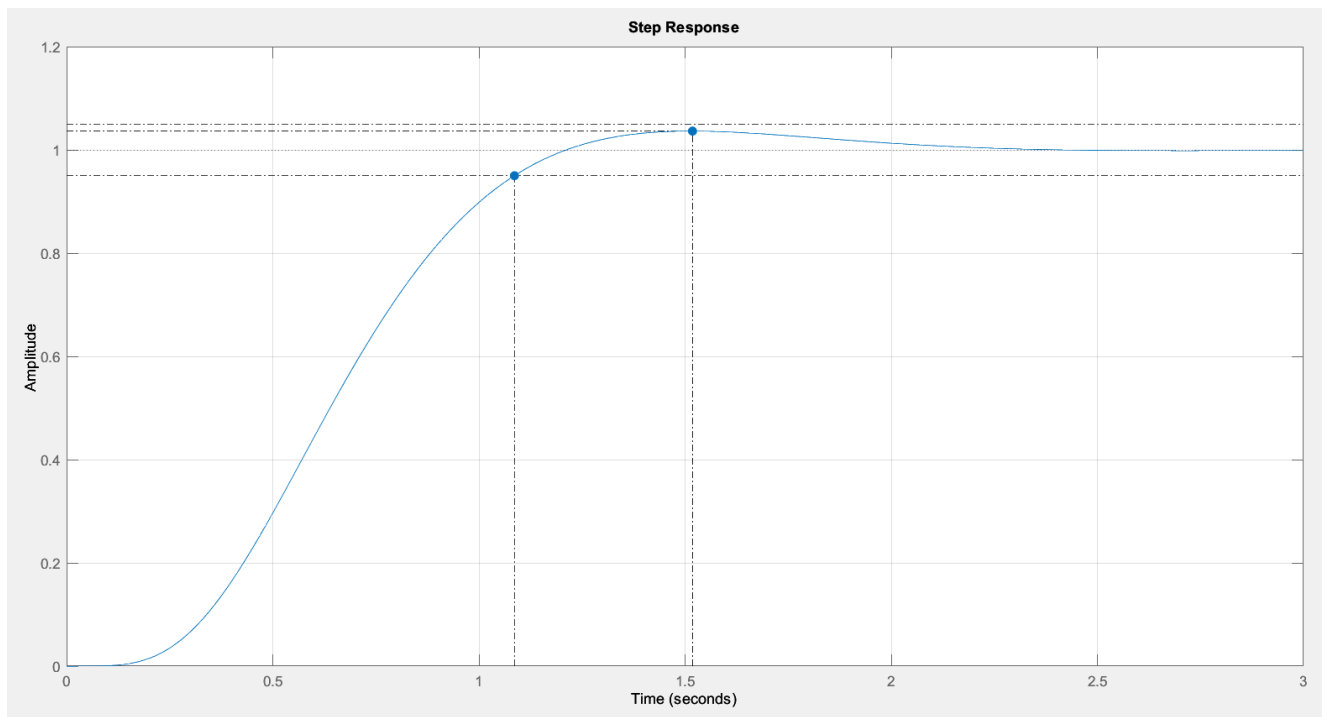


Рисунок 20. Переходный процесс в канале рыскания при координированном развороте  
после синтеза функцией `fmicon`

$$t_{п.п.} = 1.09; h_{max} = 1.04; \sigma = 3.63\%$$

#### 4.3. Подбор коэффициентов в NCD-блоке для САУ углом рыскания в режиме координированного разворота

Осуществим подбор коэффициентов в системе Simulink при помощи NCD-блока для с параметрами моделирования.

$$t_{п.п.} = 1; h_{max} = 1.05; \sigma = 5\%$$

Схема моделирования представлена на рисунке 21.

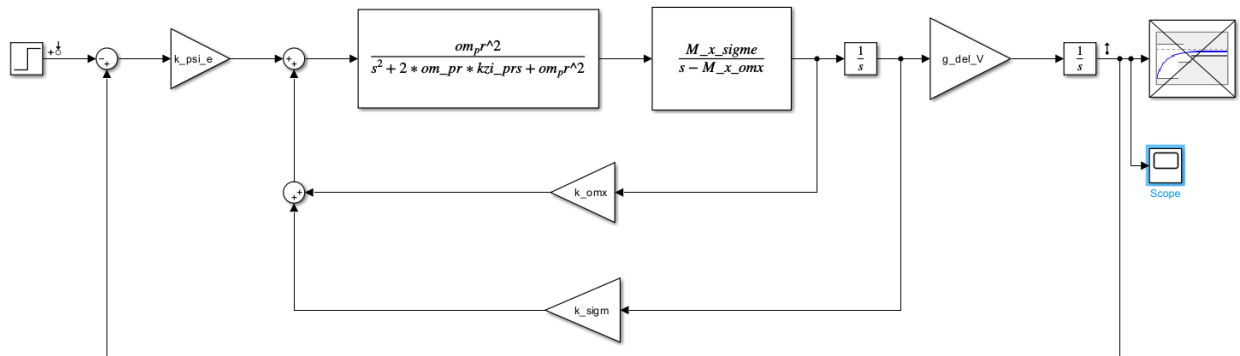


Рисунок 21. Схема моделирования для САУ углом рыскания в режиме координированного разворота

В ходе моделирования получаем коэффициенты

$$K_{\omega_x} = 0.87424 \quad (4.3.1)$$

$$K_{\gamma} = 3.5647 \quad (4.3.2)$$

$$K_{\psi}^3 = 116.03 \quad (4.3.3)$$

Переходный процесс при таких параметрах показан на рисунке 22.

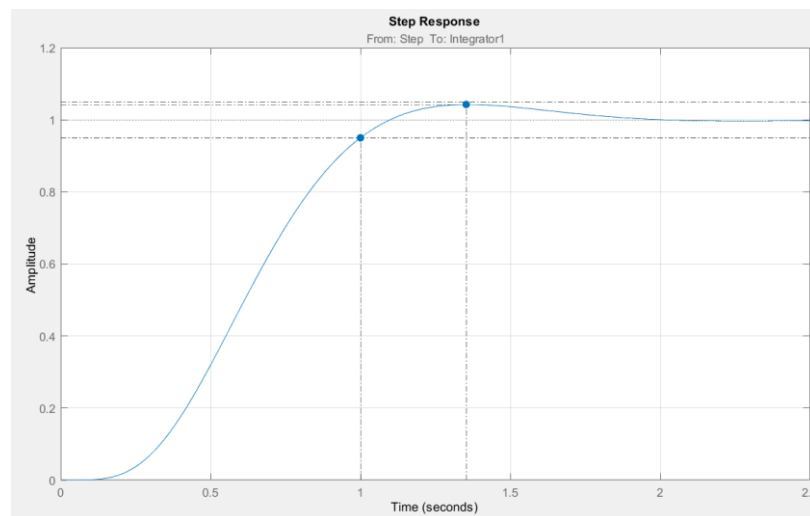


Рисунок 22. Переходный процесс в канале рыскания при координированном развороте после моделирования в NCD-блоке

$$t_{п.п.} = 1; h_{max} = 1.04; \sigma = 4.25\%$$



#### 4.4. Построение области устойчивости для САУ углом рыскания в режиме координированного разворота

Построим область устойчивости в зависимости от параметров  $K_{\omega_y}$ ,  $K_\gamma$  и  $K_\psi^3$ . Для этого воспользуемся критерием Рауса. Для системы пятого порядка условия устойчивости по этому критерию выглядят следующим образом:

$$\begin{cases} A_5 > 0 \\ A_4 > 0 \\ A_3 > 0 \\ A_2 > 0 \\ A_1 > 0 \\ A_0 > 0 \\ (A_1A_2 - A_0A_3)(A_3A_4 - A_2A_5) - (A_1A_4 - A_0A_5)^2 > 0 \end{cases}$$

Где  $A_0, A_1, A_2, A_3, A_4, A_5$  – коэффициенты характеристического многочлена полной системы с учётом привода (система (4.2.1)).

Область устойчивости – это область, которая соответствует выполнению критерия Рауса для системы 5-го порядка в данном случае. Данная область была построена в пространстве 3-х параметров и показана на рисунке 23.

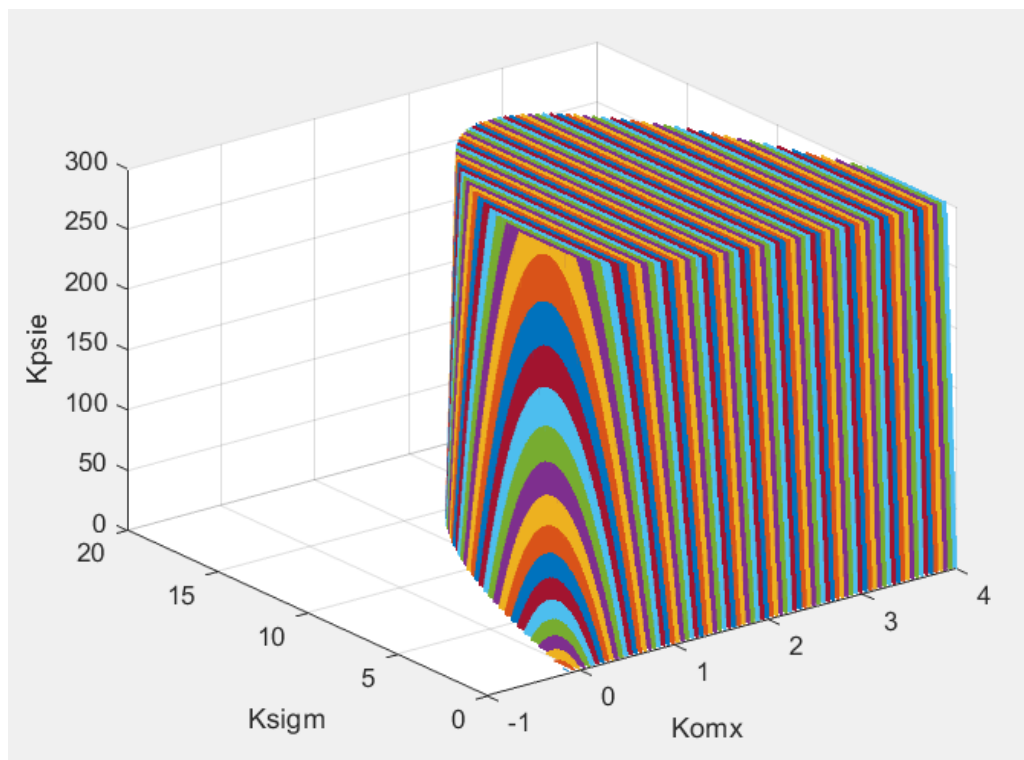


Рисунок 23. Область устойчивости для системы управления рысканием в режиме координированного разворота

## Заключение

1. Разработана система управления углом крена на указанном режиме полета, удовлетворяющая требованиям к точности, быстродействию и качеству процессов управления (без учета динамики привода  $t_{п.п.} = 0.651$ ;  $h_{max} = 1.02$ ;  $\sigma = 1.83\%$ , с учетом динамики привода  $t_{п.п.} = 0.522$ ;  $h_{max} = 1.01$ ;  $\sigma = 0.727\%$ )

Получены следующие значения коэффициентов передачи:

$$K_{\gamma} = 3.6957$$

$$K_{\omega_x} = 1$$

Разработана система управления углом рыскания при использовании плоского разворота на указанном режиме полета, удовлетворяющая требованиям ко времени переходного процесса, но немного нарушающая требование на перерегулирование ( $t_{п.п.} = 5.34$ ;  $h_{max} = 1$ ;  $\sigma = 0\%$ )

Получены следующие значения коэффициентов передачи:

$$K_{\psi} = 9.0425$$

$$K_{\omega_y} = 2.7468$$

3. Разработана система управления углом рыскания при использовании координированного разворота на указанном режиме полета, удовлетворяющая требованиям к точности, быстродействию и качеству процессов управления ( $t_{п.п.} = 1$ ;  $h_{max} = 1$ ;  $\sigma = 0\%$ ).

Получены следующие значения коэффициентов передачи:

$$K_{\gamma} = 3.5337$$

$$K_{\omega_x} = 0.9225$$

$$K_{\psi}^{\exists} = 109.4343$$

## **Список использованных источников**

1. Лекции по дисциплине «Проектирование систем автоматического управления летательных аппаратов». Лектор: Мулин П.В.

Дата обращения: 01.11.2022.

2. Лекции по дисциплине «Системы автоматического управления воздушными летательными аппаратами». Лектор: Рыбников С.И.

Дата обращения: 02.11.2022.

## Приложение 1

```
clc
clear

% Определение параметров системы
H = 5;
M = 0.6;
V = 192;
Zb = -0.2;
sin = 0.08;
cos = 1;
g_del_V = 0.051;

M_x_b = -5.8;
M_x_omx = -1;
M_x_omy = -0.2;
M_x_sigme = -7;
M_y_b = -3;
M_y_omx = -0.05;
M_y_omy = -0.2;
M_y_sigmn = -2.5;

om_pr = 20;
kzi_pr = sqrt(2)/2;

% Синтез параметров
a = 4; % Коэффициент пропорциональности между tpr и временем релаксации
kzi = sqrt(a^2/(pi^2+a^2)); % Коэффициент затухания
t_pp = 1; % Задаём примерное время переходного процесса
om0 = a / kzi / t_pp; % Определяем собственную частоту колебаний
T = 2*pi / (om0*sqrt(1-kzi^2)); % Определяем время релаксации

disp('Синтезированные коэффициенты')
k_sigme = - om0^2 / M_x_sigme % Значение коэффициент k_sigme
k_omx = - (M_x_omx + 2*kzi*om0) / M_x_sigme % Определяем коэффициент k_omx

% Построение переходного процесса в системе с учётом привода
% с синтезированными коэффициентами
W1 = tf(M_x_sigme, [1 -M_x_omx]); % ПФ по угловой скорости
W2 = tf(om_pr^2, [1 2*kzi_pr*om_pr om_pr^2]); % ПФ привода
W3 = W1*W2; % Связываем W1 и W2
integr = tf(1, [1, 0]); % ПФ интегратора
W4 = feedback(W3, k_omx, 1); % Положительная ОС по угловой скорости
W5 = k_sigme * W4 * integr; % Разомкнутая цепь по углу крена
disp('ПФ замкнутой цепи по углу крена с учётом привода')
W6 = feedback(W5, 1, 1) % Замкнутая цепь по углу крена
disp('Корни характеристического уравнения')
roots(W6.denominator{1}) % Корни характеристического уравнения
figure;
step(-1*W6); % Построение переходного процесса

% Построение переходного процесса в системе без учёта привода
% с синтезированными коэффициентами
W1 = tf(M_x_sigme, [1 -M_x_omx]); % ПФ по угловой скорости
integr = tf(1, [1, 0]); % ПФ интегратора
```

```

W2 = feedback(W1, k_omx, 1); % Положительная ОС по угловой скорости
W3 = k_sigm * W2 * integr; % Разомкнутая цепь по углу крена
disp('ПФ замкнутой цепи по углу крена без учёта привода')
W4 = feedback(W3, 1, 1) % Замкнутая цепь по углу крена
disp('Корни характеристического уравнения')
roots(W4.denominator{1}) % Корни характеристического уравнения
hold on
step(-1*W4); % Построение переходного процесса
hold off
grid on
legend('С учётом динамики привода', 'Без учёта динамики привода')

% Корни, полученные при моделировании в NCD-блоке
disp('Полученные в NCD-блоке коэффициенты')
k_sigm = 5.4231
k_omx = 1.2597

```

```

% Те же самые построение только уже для подобранных в NCD-блоке
% коэффициентов
W1 = tf(M_x_signe, [1 -M_x_omx]);
W2 = tf(om_pr^2, [1 2*kzi_pr*om_pr om_pr^2]);
W3 = W1*W2;
integr = tf(1, [1, 0]);
W4 = feedback(W3, k_omx, 1);
W5 = k_sigm * W4 * integr;
disp('ПФ замкнутой цепи по углу крена с учётом привода')
W6 = feedback(W5, 1, 1)
disp('Корни характеристического уравнения')
roots(W6.denominator{1})
figure;
step(-1*W6)

```

```

W1 = tf(M_x_signe, [1 -M_x_omx]);
integr = tf(1, [1, 0]);
W2 = feedback(W1, k_omx, 1);
W3 = k_sigm * W2 * integr;
disp('ПФ замкнутой цепи по углу крена без учёта привода')
W4 = feedback(W3, 1, 1)
disp('Корни характеристического уравнения')
roots(W4.denominator{1})
hold on
step(-1*W4)
hold off
legend('С учётом динамики привода', 'Без учёта динамики привода')
grid on

```

Программа 1. Основной код для системы управления стабилизацией крена

```

clc
clear

syms k_sigm k_omx s

% Определение параметров системы
H = 5;
M = 0.6;
V = 192;
Zb = -0.2;

```

```

sin = 0.08;
cos = 1;
g_del_V = 0.051;

M_x_b = -5.8;
M_x_omx = -1;
M_x_omy = -0.2;
M_x_sigme = -7;
M_y_b = -3;
M_y_omx = -0.05;
M_y_omy = -0.2;
M_y_sigmn = -2.5;

om_pr = 20;
kzi_pr = sqrt(2)/2;

W_pr = om_pr^2 / (s^2 + 2*om_pr*kzi_pr*s + om_pr^2); % ПФ привода
W1 = collect(M_x_sigme / (s - M_x_omx)); % ПФ по угловой скорости
W2 = collect(W1 * W_pr); % Связываем W1 и W2
W3 = collect(W2 / (1 - W2*k_omx)); % Положительная ОС по угловой скорости
W4 = collect(k_sigm * W3 / s); % Разомкнутая цепь по углу крена
W5 = collect(W4 / (1 - W4)); % Замкнутая цепь по углу крена
disp('ПФ замкнутой цепи по углу крена с учётом привода')
pretty(W5)

[num, den] = numden(W5);
disp('Числитель передаточной функции')
num = vpa(collect(num), 4)
disp('Знаменатель передаточной функции')
den = vpa(collect(den), 4)

% Выделим коэффициенты в числителе и знаменателе
% Функция coeffs запишет их от младшей степени к старшей
koefs_num = coeffs(num, 's'); % Массив коэффициентов числителя
koefs_den = coeffs(den, 's'); % Массив коэффициентов знаменателя

% Перевернём массивы на 180 градусов, чтобы получить коэффициенты
% от старшего ко младшему
koefs_num = rot90(rot90(koefs_num));
koefs_den = rot90(rot90(koefs_den));

% Запишем соответствующие коэффициенты в соответствующие переменные
B0 = koefs_num(1);
A4 = koefs_den(1);
A3 = koefs_den(2);
A2 = koefs_den(3);
A1 = koefs_den(4);
A0 = koefs_den(5);

% Запишем неравенства жля критерия Рауса
eq1 = A0 > 0;
eq2 = A1 > 0;
eq3 = A2 > 0;
eq4 = A3 > 0;
eq5 = A4 > 0;
eq6 = simplify(A1*A2*A3 - A1^2*A4 - A0*A3^2) > 0;

```

```

% Преобразуем неравенства из символьного типа данных в функции
eq1 = matlabFunction(eq1);
eq2 = matlabFunction(eq2);
eq3 = matlabFunction(eq3);
eq4 = matlabFunction(eq4);
eq5 = matlabFunction(eq5);
eq6 = matlabFunction(eq6);

% Задание сетки
l1 = [-2:0.005:5];
l2 = [-2:0.005:20];
[k0, ks] = meshgrid(l1, l2);

% Проверка устойчивости узлов сетки
c1 = eq1(ks);
c2 = eq2(k0);
c3 = eq3();
c4 = eq4();
c5 = eq5();
c6 = eq6(k0, ks);

figure;
contourf(l1, l2, c1 & c2 & c3 & c4 & c5 & c6, [1 1 1 1 1 1])
colormap lines
grid on
hold on
% Синтезированные коэффициенты
k_omx = 1;
k_sigm = 3.6957;
pnt1 = scatter(k_omx, k_sigm, 'r','filled');
% Подобранные коэффициенты
k_omx = 1.2597;
k_sigm = 5.4231;
pnt2 = scatter(k_omx, k_sigm, 'b','filled');
legend([pnt1, pnt2], "Синтезированные коэффициенты", "Подобранные коэффициенты")
hold off
xlabel('Komx')
ylabel('Ksigm')

```

Программа 2. Область устойчивости для системы управления стабилизацией крена

## Приложение 2

```
clc
clear

syms k_psi k_omegay s

% Определение параметров системы
H = 5;
M = 0.6;
V = 192;
Zb = -0.2;
sin = 0.08;
cos = 1;
g_del_V = 0.051;

M_x_b = -5.8;
M_x_omx = -1;
M_x_omy = -0.2;
M_x_sigme = -7;
M_y_b = -3;
M_y_omx = -0.05;
M_y_omy = -0.2;
M_y_sigmn = -2.5;

om_pr = 20;
kzi_pr = sqrt(2)/2;

% Передаточная функция привода
W_pr = om_pr^2 / (s^2 + 2*om_pr*kzi_pr*s + om_pr^2);
% Передаточная функция по угловой скорости рысканья с учётом привода
W_sigmn_omy_raz = collect((M_y_sigmn*s + (-M_y_sigmn*Zb)) / (s^2 + (-M_y_omy-Zb)*s + (M_y_omy*Zb-M_y_b)) * W_pr);
% Обратная связь с коэффициентом обратной связи k_omegay
W_sigmn_omy_zamk = collect(W_sigmn_omy_raz / (1 - k_omegay*W_sigmn_omy_raz));
% Разомкнутая передаточная функция по углу рысканья с замкнутым внутренним
% контуром
W_pszad_psi_raz = collect(k_psi * W_sigmn_omy_zamk / s);
% Передаточная функция замкнутой системы по углу рысканья
W_pszad_psi_zamk = collect(W_pszad_psi_raz / (1 - W_pszad_psi_raz));

% Выделим числитель и знаменатель итоговой ПФ
[num, den] = numden(W_pszad_psi_zamk);
num = collect(num);
den = collect(den);
% Выделим коэффициенты числителя и знаменателя
% При этом сами коэффициенты будут записаны в порядке от младшего к
% старшему, то есть перевернутся
koefs_num = coeffs(num, 's');
koefs_den = coeffs(den, 's');
% Выделим старший коэффициент знаменателя. В списке он будет последний
starsh_koef = koefs_den(length(koefs_den));
% Поделим все коэффициенты на это число
koefs_num = vpa(koefs_num / starsh_koef);
koefs_den = vpa(koefs_den / starsh_koef);
% Развернём оба списка с коэффициентами, чтобы они шли от старшего ко
% младшему
koefs_num = rot90(rot90(koefs_num));
koefs_den = rot90(rot90(koefs_den));
```



```

% Преобразованные коэффициенты передаточной функции
B1 = koefs_num(1);
B0 = koefs_num(2);
A5 = koefs_den(1);
A4 = koefs_den(2);
A3 = koefs_den(3);
A2 = koefs_den(4);
A1 = koefs_den(5);
A0 = koefs_den(6);

% Передаточная функция в нормальном виде (старший коэффициент знаменателя
% равен 1
num = (B1*s + B0);
den = (A5*s^5 + A4*s^4 + A3*s^3 + A2*s^2 + A1*s + A0);
PF = (num / den);
disp('Числитель ПФ')
pretty(num)
disp('Знаменатель ПФ')
pretty(den)

% Зададим параметры для оптимизации в fmincon
k0 = [10, 10];
A = [];
b = [];
Aeg = [];
beg = [];
lb = 0.1*ones(2,1);
ub = 300*ones(2,1);

% Осуществим параметрическую оптимизацию
[x, fval] = fmincon('fun_min', k0, A, b, Aeg, beg, lb, ub, 'nonclon');

% Полученные коэффициенты
k_omegay = x(1)
k_psi = x(2)

% Преобразовывает коэффициенты характеристического полинома,
% подставляя в них найденные значения
B_1 = vpa(-1000.0*x(2));
B_0 = vpa(-200.0*x(2));
A_5 = vpa(1);
A_4 = vpa(28.6842);
A_3 = vpa(414.3537);
A_2 = vpa(1000*x(1) + 245.98);
A_1 = vpa(1000*x(2) + 200*x(1) + 1216);
A_0 = vpa(200.0.*x(2));
num = B_1*s + B_0;
den = A_5*s^5 + A_4*s^4 + A_3*s^3 + A_2*s^2 + A_1*s + A_0;
num = sym2poly(num);
den = sym2poly(den);

% Получаем передаточную функцию и строим переходный процесс
disp('Передаточная функция с полученными коэффициентами')
W_sys = tf(num, den)
figure;
step(-1*W_sys)
grid on

```

Программа 3. Основной код для системы управление рысканием в режиме плоского разворота

```

function f = fun_min(x)
% x(1) = k_omegay, x(2) = k_psi

    A_1 = 1000*x(2) + 200*x(1) + 1216;
    A_0 = 200.0*x(2);

    f = A_1 * A_0^(-1);

end

```

Программа 4. Целевая функция для системы управления углом рыскания в режиме  
плоского разворота

```

function [c, seq] = nonclon(x)
% x(1) = k_omegay, x(2) = k_psi

    A_5 = 1;
    A_4 = 28.6842;
    A_3 = 414.3537;
    A_2 = 1000*x(1) + 245.98;
    A_1 = 1000*x(2) + 200*x(1) + 1216;
    A_0 = 200.0*x(2);

    lambd_star = 2.15; % Желаемое значение лямбды
    lambd1 = lambd_star - (A_0^(-1) * A_1 * A_2 * A_3^(-1));
    lambd2 = lambd_star - (A_1^(-1) * A_2 * A_3 * A_4^(-1));
    lambd3 = lambd_star - (A_2^(-1) * A_3 * A_4 * A_5^(-1));

    sigm_star = 2; % Желаемое значение сигмы
    sigm1 = sigm_star - (A_0^(-1) * A_1^2 * A_2^(-1));
    sigm2 = sigm_star - (A_1^(-1) * A_2^2 * A_3^(-1));
    sigm3 = sigm_star - (A_2^(-1) * A_3^2 * A_4^(-1));

    c = [lambd1; lambd2; lambd3; sigm1; sigm2; sigm3];
    seq = [];

end

```

Программа 5. Ограничения для системы управления углом рыскания в режиме плоского  
разворота

```

clc
clear

syms k_psi k_omegay s

% Задаём параметры системы
H = 5;
M = 0.6;
V = 192;
Zb = -0.2;
sin = 0.08;
cos = 1;
g_del_V = 0.051;

M_x_b = -5.8;
M_x_omx = -1;
M_x_omy = -0.2;
M_x_sigme = -7;

```

```

M_y_b = -3;
M_y_omx = -0.05;
M_y_omy = -0.2;
M_y_sigmn = -2.5;

om_pr = 20;
kzi_pr = 0.707;

% Передаточная функция привода
W_pr = om_pr^2 / (s^2 + 2*om_pr*kzi_pr*s + om_pr^2);
% Передаточная функция по угловой скорости рысканья с учётом привода
W_sigmn_omy_raz = collect((M_y_sigmn*s + (-M_y_sigmn*Zb)) / (s^2 + (-M_y_omy-Zb)*s +
(M_y_omy*Zb-M_y_b)) * W_pr);
% Обратная связь с коэффициентом обратной связи k_omegay
W_sigmn_omy_zamk = collect(W_sigmn_omy_raz / (1 - k_omegay*W_sigmn_omy_raz));
% Разомкнутая передаточная функция по углу рысканья с замкнутым внутренним
% контуром
W_psi_raz = collect(k_psi * W_sigmn_omy_zamk / s);
% Передаточная функция замкнутой системы по углу рысканья
W_psi_raz_zamk = collect(W_psi_raz / (1 - W_psi_raz));

% Выделим числитель и знаменатель итоговой ПФ
[num, den] = numden(W_psi_raz_zamk);
num = collect(num);
den = collect(den);
% Выделим коэффициенты числителя и знаменателя
% При этом сами коэффициенты будут записаны в порядке от младшего к
% старшему, то есть перевернутся
koefs_num = coeffs(num, 's');
koefs_den = coeffs(den, 's');
% Выделим старший коэффициент знаменателя. В списке он будет последний
starsh_koef = koefs_den(length(koefs_den));
% Поделим все коэффициенты на это число
koefs_num = vpa(koefs_num / starsh_koef);
koefs_den = vpa(koefs_den / starsh_koef);
% Развернём оба списка с коэффициентами, чтобы они шли от старшего ко
% младшему
koefs_num = rot90(rot90(koefs_num));
koefs_den = rot90(rot90(koefs_den));

% Преобразованные коэффициенты передаточной функции
B1 = koefs_num(1);
B0 = koefs_num(2);
A5 = koefs_den(1);
A4 = koefs_den(2);
A3 = koefs_den(3);
A2 = koefs_den(4);
A1 = koefs_den(5);
A0 = koefs_den(6);

% Передаточная функция в нормальном виде (старший коэффициент знаменателя
% равен 1
num = (B1*s + B0);
den = (A5*s^5 + A4*s^4 + A3*s^3 + A2*s^2 + A1*s + A0);
PF = (num / den);
disp('Числитель ПФ')
pretty(num)
disp('Знаменатель ПФ')
pretty(den)

% Запишем неравенства ждя критерия Рауса
eq1 = A0 > 0;

```

```

eq2 = A1 > 0;
eq3 = A2 > 0;
eq4 = A3 > 0;
eq5 = A4 > 0;
eq6 = A5 > 0;
eq7 = simplify((A1*A2-A0*A3)*(A3*A4-A2*A5) - (A1*A4-A0*A5)^2) > 0;

% Преобразуем неравенства из символьного типа данных в функции
eq1 = matlabFunction(eq1);
eq2 = matlabFunction(eq2);
eq3 = matlabFunction(eq3);
eq4 = matlabFunction(eq4);
eq5 = matlabFunction(eq5);
eq6 = matlabFunction(eq6);
eq7 = matlabFunction(eq7);

% Задание сетки
l1 = [-2:0.05:50];
l2 = [-2:0.05:50];
[k0, kp] = meshgrid(l1, l2);

% Проверка устойчивости узлов сетки
c1 = eq1(kp);
c2 = eq2(kp, k0);
c3 = eq3(k0);
c4 = eq4();
c5 = eq5();
c6 = eq6();
c7 = eq7(kp, k0);

% Построение области устойчивости
figure;
contourf(l1, l2, c1 & c2 & c3 & c4 & c5 & c6 & c7, [1 1 1 1 1 1 1])
colormap lines
hold on
% Синтезированные коэффициенты
k_omegay = 2.7468;
k_psi = 9.0425;
pnt1 = scatter(k_omegay, k_psi, 'r', 'filled');
% Подобранные коэффициенты
k_omegay = 2.8172;
k_psi = 9.0425;
pnt2 = scatter(k_omegay, k_psi, 'b', 'filled');
legend([pnt1, pnt2], "Синтезированные коэффициенты", "Подобранные коэффициенты")
hold off
xlabel("Komy")
ylabel("Kpsi")
grid on

```

Программа 6. Построение области устойчивости для системы управления углом рыскания  
в режиме плоского разворота

## Приложение 3

```
clc
clear

syms s k_psi_e k_omx k_sigm

% Зададим параметры в системе
H = 5;
M = 0.6;
V = 192;
Zb = -0.2;
sin = 0.08;
cos = 1;
g_del_V = 0.051;

M_x_b = -5.8;
M_x_omx = -1;
M_x_omy = -0.2;
M_x_sigm = -7;
M_y_b = -3;
M_y_omx = -0.05;
M_y_omy = -0.2;
M_y_sigmn = -2.5;

om_pr = 20;
kzi_pr = 0.707;

% Передаточная функция привода
W_pr = om_pr^2 / (s^2 + 2*om_pr*kzi_pr*s + om_pr^2);
% Передаточная функция ОУ
W1 = M_x_sigm / (s - M_x_omx);
% Передаточная функция ОУ и привода вместе
W2 = collect(W_pr*W1);
% Передаточная функция с обратной связью
W3 = collect(W2 / (1 - W2*k_omx));
% Умножаем на интегратор
W4 = collect(W3 / s);
% Ещё раз оборачиваем обратной связью
W5 = collect(W4 / (1 - W4*k_sigm));
% ПФ разомкнутой цепи
W6 = collect(k_psi_e * W5 * g_del_V / s);
% ПФ всей системы
W7 = collect(W6 / (1 - W6));

% Выделим числитель и знаменатель итоговой ПФ
[num, den] = numden(W7);
num = collect(num);
den = collect(den);
% Выделим коэффициенты числителя и знаменателя
% При этом сами коэффициенты будут записаны в порядке от младшего к
% старшему, то есть перевернутся
koefs_num = coeffs(num, 's');
koefs_den = coeffs(den, 's');
% Выделим старший коэффициент знаменателя. В списке он будет последний
starsh_koef = koefs_den(length(koefs_den));
% Поделим все коэффициенты на это число
koefs_num = vpa(koefs_num / starsh_koef);
koefs_den = vpa(koefs_den / starsh_koef);
% Развернём оба списка с коэффициентами, чтобы они шли от старшего ко
```

```

% младшему
koeffs_num = rot90(rot90(koeffs_num));
koeffs_den = rot90(rot90(koeffs_den));

% Преобразованные коэффициенты передаточной функции
B0 = koeffs_num(1);
A5 = koeffs_den(1);
A4 = koeffs_den(2);
A3 = koeffs_den(3);
A2 = koeffs_den(4);
A1 = koeffs_den(5);
A0 = koeffs_den(6);

% Передаточная функция в нормальном виде (старший коэффициент знаменателя
% равен 1
num = B0;
den = (A5*s^5 + A4*s^4 + A3*s^3 + A2*s^2 + A1*s + A0);
PF = (num / den);
disp('Числитель ПФ')
pretty(num)
disp('Знаменатель ПФ')
pretty(den)

% Зададим параметры для оптимизации в fmincon
k0 = [1;1;1];
A = [];
b = [];
Aeg = [];
beg = [];
lb = 0.1*ones(2,1);
ub = 300*ones(2,1);

% Осуществим параметрическую оптимизацию
[x, fval] = fmincon('fun_min', k0, A, b, Aeg, beg, lb, ub, 'nonclon');

% Полученные коэффициенты
k_omx = x(1)
k_sigm = x(2)
k_psi_e = x(3)
% Преобразовывает коэффициенты характеристического полинома,
% подставляя в них найденные значения
B_0 = vpa(-142.8*x(3));
A_5 = vpa(1);
A_4 = vpa(29.28);
A_3 = vpa(428.28);
A_2 = vpa(400.0 + 2800.0*x(1));
A_1 = vpa(2800.0*x(2));
A_0 = vpa(142.8*x(3));
num = B_0;
den = A_5*s^5 + A_4*s^4 + A_3*s^3 + A_2*s^2 + A_1*s + A_0;
num = sym2poly(num);
den = sym2poly(den);
% Получаем передаточную функцию и строим переходный процесс
disp('Передаточная функция с полученными коэффициентами')
W_sys = tf(num, den)
figure;
step(-1*W_sys)
grid on

```

Программа 7. Основной код для системы управления углом рыскания в режиме координированного разворота

```

function f = fun_min(x)
% x(1) = k_omegay, x(2) = k_psi

    A_1 = 2800*x(2);
    A_0 = 142.8*x(3);

    f = A_1 * A_0^(-1);

end

```

Программа 8. Целевая функция для системы управления углом рыскания в режиме  
координированного разворота

```

function [c, seq] = nonclon(x)
% x(1) = k_omegay, x(2) = k_psi

    A_5 = 1;
    A_4 = 29.28;
    A_3 = 428.28;
    A_2 = 400.0 + 2800.0*x(1);
    A_1 = 2800*x(2);
    A_0 = 142.8*x(3);

    lambd_star = 2.15; % Желаемое значение лямбды
    lambd1 = lambd_star - (A_0^(-1) * A_1 * A_2 * A_3^(-1));
    lambd2 = lambd_star - (A_1^(-1) * A_2 * A_3 * A_4^(-1));
    lambd3 = lambd_star - (A_2^(-1) * A_3 * A_4 * A_5^(-1));

    sigm_star = 2.1; % Желаемое значение сигмы
    sigm1 = sigm_star - (A_0^(-1) * A_1^2 * A_2^(-1));
    sigm2 = sigm_star - (A_1^(-1) * A_2^2 * A_3^(-1));
    sigm3 = sigm_star - (A_2^(-1) * A_3^2 * A_4^(-1));

    c = [lambd1; lambd2; lambd3; sigm1; sigm2; sigm3];
    seq = [];

end

```

Программа 9. Ограничения для системы управления углом рыскания в режиме  
координированного разворота

```

clc
clear

syms k_psi_e k_omx k_sigm s

% Зададим параметры в системе
H = 5;
M = 0.6;
V = 192;
Zb = 0.2;
sin = 0.08;
cos = 1;
g_del_V = 0.051;

M_x_b = -5.8;
M_x_omx = -1;
M_x_omy = -0.2;

```

```

M_x_signe = -7;
M_y_b = -3;
M_y_omx = -0.05;
M_y_omy = -0.2;
M_y_sigmn = -2.5;

om_pr = 20;
kzi_pr = 0.707;

% Передаточная функция привода
W_pr = om_pr^2 / (s^2 + 2*om_pr*kzi_pr*s + om_pr^2);
% Передаточная функция ОУ
W1 = M_x_signe / (s - M_x_omx);
% Передаточная функция ОУ и привода вместе
W2 = collect(W_pr*W1);
% Передаточная функция с обратной связью
W3 = collect(W2 / (1 - W2*k_omx));
% Умножаем на интегратор
W4 = collect(W3 / s);
% Ещё раз оборачиваем обратной связью
W5 = collect(W4 / (1 - W4*k_sigmn));
% ПФ разомкнутой цепи
W6 = collect(k_psi_e * W5 * g_del_V / s);
% ПФ всей системы
W7 = collect(W6 / (1 - W6));

% Выделим числитель и знаменатель итоговой ПФ
[num, den] = numden(W7);
num = collect(num);
den = collect(den);
% Выделим коэффициенты числителя и знаменателя
% При этом сами коэффициенты будут записаны в порядке от младшего к
% старшему, то есть перевернутся
koefs_num = coeffs(num, 's');
koefs_den = coeffs(den, 's');
% Выделим старший коэффициент знаменателя. В списке он будет последний
starsh_koef = koefs_den(length(koefs_den));
% Поделим все коэффициенты на это число
koefs_num = vpa(koefs_num / starsh_koef);
koefs_den = vpa(koefs_den / starsh_koef);
% Развернём оба списка с коэффициентами, чтобы они шли от старшего ко
% младшему
koefs_num = rot90(rot90(koefs_num));
koefs_den = rot90(rot90(koefs_den));

% Преобразованные коэффициенты передаточной функции
B0 = koefs_num(1);
A5 = koefs_den(1);
A4 = koefs_den(2);
A3 = koefs_den(3);
A2 = koefs_den(4);
A1 = koefs_den(5);
A0 = koefs_den(6);

% Передаточная функция в нормальном виде (старший коэффициент знаменателя
% равен 1
num = B0;
den = (A5*s^5 + A4*s^4 + A3*s^3 + A2*s^2 + A1*s + A0);
PF = (num / den);
disp('Числитель ПФ')
pretty(num)
disp('Знаменатель ПФ')

```



```

pretty(den)

% Запишем неравенства для критерия Рауса
eq1 = A0 > 0;
eq2 = A1 > 0;
eq3 = A2 > 0;
eq4 = A3 > 0;
eq5 = A4 > 0;
eq6 = A5 > 0;
eq7 = simplify((A1*A2-A0*A3)*(A3*A4-A2*A5) - (A1*A4-A0*A5)^2) > 0;

% Преобразуем неравенства из символьного типа данных в функции
eq1 = matlabFunction(eq1);
eq2 = matlabFunction(eq2);
eq3 = matlabFunction(eq3);
eq4 = matlabFunction(eq4);
eq5 = matlabFunction(eq5);
eq6 = matlabFunction(eq6);
eq7 = matlabFunction(eq7);

% Задание сетки
ko = [-1:0.05:4];
ks = [-1:0.05:20];
kp = [-1:0.5:300];

% Построение трехмерного графика
% Задаём k_omega
% Строим плоскую область для параметров k_sigm, k_psi
% Прибавляет к параметру k_omega шаг 0.05
% Повторяем действия
% Таким образом - получится много плоских рисунков,
% которые в сумме будут давать пространство устойчивости
hold on
grid on
view(3)
for i=1:length(ko)
    X = [];
    Y = [];
    Z = [];
    ind = 1;
    for j=1:length(ks)
        for k=1:length(kp)
            c1 = eq1(kp(k));
            c2 = eq2(ks(j));
            c3 = eq3(ko(i));
            c4 = eq4();
            c5 = eq5();
            c6 = eq6();
            c7 = eq7(ko(i), kp(k), ks(j));
            if c1 & c2 & c3 & c4 & c5 & c6 & c7
                X(ind) = ko(i);
                Y(ind) = ks(j);
                Z(ind) = kp(k);
                ind = ind + 1;
            end
        end
    end
    plot3(X, Y, Z)
end

```

```
xlabel('Komx')  
ylabel('Ksigm')  
zlabel('Kpsie')
```

Программа 10. Построение области устойчивости для системы управления углом рыскания в режиме координированного разворота